





PLAN MAESTRO PARA EL SECTOR HÍDRICO DE LA PROVINCIA DE MENDOZA

Reporte 4

Balances Prospectivos

Marzo 2025



ÍNDICE

| 1. II | NTRODUCCIÓN | 6 |
|-------|--|----|
| 2. R | ESUMEN EJECUTIVO | 6 |
| 3. O | BJETIVO DEL INFORME | 7 |
| | ÁLCULO DE NIVELES DE ABASTECIMIENTO SOSTENIBLES | |
| 4.1. | Metodología | |
| 4.1. | AGUA DISPONIBLE | |
| 4.2. | NIVEL DE ABASTECIMIENTO SUSTENTABLE - CÁLCULOS | |
| | ESUMEN DE LA DEMANDA (INFORME 3.2) | |
| 5.1. | Demanda Poblacional | 31 |
| 5.2. | DEMANDA AGRÍCOLA | |
| 5.3. | OTRA DEMANDA POR TIPO | |
| 5.4. | DEMANDA AMBIENTAL EN CUENCA RIO MALARGÜE | |
| 5.5. | RESUMEN DE LAS PROYECCIONES DE LA DEMANDA | |
| 6. P | ROYECCIÓN EL DÉFICIT ESPERADO EN CADA CUENCA | |
| 6.1. | OFERTA RECIRCULADA | 34 |
| 6.2. | DÉFICIT PROYECTADO, SITUACIÓN ACTUAL SIN MEJORA | 36 |
| 7. P | OTENCIAL DE REDUCCIÓN DE LA DEMANDA DE AGUA | 39 |
| 7.1. | Eficiencia de aplicación | 39 |
| 7.2. | EFICIENCIA DE CONDUCCIÓN | 40 |
| 7.3. | EFICIENCIA DE CONDUCCIÓN + EFICIENCIA DE APLICACIÓN (MEZCLA) | 41 |
| 8. B | ALANCES HÍDRICOS PROSPECTIVOS | 42 |
| 8.1. | Escenario número 1 – Situación Actual | 42 |
| 8.2. | ESCENARIO NÚMERO 2 – TOTAL DERECHOS | 47 |
| 8.3. | ESCENARIO NÚMERO 3 | 49 |
| 8.4. | RESUMEN DE BALANCES HÍDRICOS PROSPECTIVOS | 51 |
| 9. A | SPECTOS METODOLÓGICOS DE LA ESTIMACIÓN DE COSTOS DE MEJORAS | 52 |
| 9.1. | ASPECTOS GENERALES | 52 |
| 9.2. | DEFINICIÓN DEL PLAN DE INVERSIONES | 52 |
| 9.3. | Овјетічо | 55 |
| 10 | CONCLUCIONES | 57 |

LISTA DE TABLAS

| Tabla 4-1: Percentiles de la distribución actual (2020) y de la proyección de los caudales | |
|--|----|
| anuales en los ríos Mendoza, Tunuyán, Diamante, Atuel y Malargüe para 2030, 2040 y 2050 | |
| Tabla 4-2: Percentiles de la distribución actual (2020) y de la proyección de los caudales | 10 |
| anuales totales en la provincia de Mendoza para 2030, 2040 y 2050 | 17 |
| Tabla 4-3: Mediana de la distribución actual (2020) y de la proyección de los caudales | |
| anuales totales en la provincia de Mendoza para 2030, 2040 y 2050. Se presenta la reducció | n |
| esperada para cada década con relación a la situación actual. | 17 |
| Tabla 4-4: Nivel de Abastecimiento, Abastecimiento Promedio y Déficit Promedio en la | |
| cuenca del Río Mendoza para Niveles de confiabilidad del 90 y 80% (2020, 2030, 2040 y | |
| 2050). Capacidad de Almacenamiento, 395 y 800 mm ³ | 19 |
| Tabla 4-5: Nivel de Abastecimiento, Abastecimiento Promedio y Déficit Promedio en la | |
| cuenca del Río Tunuyán para Niveles de confiabilidad del 90 y 80% (2020, 2030, 2040 y | |
| 2050), 276 y 600 Mm ³ . | 21 |
| Tabla 4-6: Derrames en La Angostura y erogaciones del embalse Valle Grande | 22 |
| Tabla 4-7: Balance hídrico en hm³ para el abastecimiento correspondiente al percentil 502 | 25 |
| Tabla 4-8: Balance hídrico hm³ para el abastecimiento correspondiente al nivel de | |
| confiabilidad de 90% y 80%. | 25 |
| Tabla 4-9: Nivel de Abastecimiento, Abastecimiento Promedio y Déficit Promedio en la | |
| cuenca del Río Atuel para Niveles de confiabilidad del 90 y 80% (2020, 2030, 2040 y 2050) |), |
| 352 y 700 mm ³ | 25 |
| Tabla 4-10: Nivel de Abastecimiento, Abastecimiento Promedio y Déficit Promedio en la | |
| cuenca del Río Diamante para Niveles de confiabilidad del 90 y 80% (2020, 2030, 2040 y | |
| 2050), 544 y 1100 mm ³ | 28 |
| Tabla 4-11: Nivel de Abastecimiento, Abastecimiento Promedio y Déficit Promedio en la | |
| cuenca del Río Malargüe para Niveles de confiabilidad del 90 y 80% (2020, 2030, 2040 y | |
| 2050), 0 y 200 mm ³ | 30 |
| Tabla 5-1: Demanda poblacional actual y proyectada (hm³). | 31 |
| Tabla 5-2: Demanda agrícola proyectada (hm³). | 32 |
| Tabla 5-3: Otro tipo demanda proyectada (hm³). | 32 |
| Tabla 5-4: Resumen de las proyecciones de la demanda (hm³) | 33 |
| Tabla 6-1: Cálculo de la oferta de agua recirculada para la cuenca del río Mendoza (hm³) | 35 |

| Tabla 6-2: Cálculo de la oferta de agua recirculada para la cuenca del río Tunuyán | 36 |
|--|------|
| Tabla 6-3: Cálculo de la oferta de agua recirculada para la cuenca del río Diamante | 36 |
| Tabla 6-4: Cálculo del Déficit - Río Mendoza (hm³). | 37 |
| Tabla 6-5: Cálculo del Déficit - Río Tunuyán (hm³). | 37 |
| Tabla 6-6: Cálculo del Déficit - Río Diamante (hm³) | 37 |
| Tabla 6-7: Cálculo del Déficit - Río Atuel (hm³). | 38 |
| Tabla 6-8: Cálculo del Déficit - Río Malargüe (hm³). | 38 |
| Tabla 7-1: Eficiencias promedio de Aplicación. | 39 |
| Tabla 7-2: Mejora de la eficiencia de la Aplicación. | 39 |
| Tabla 7-3: Eficiencias promedio de Conducción. | 40 |
| Tabla 7-4: Mejora de la eficiencia de la Conducción. | 40 |
| Tabla 7-5: Mejora de la eficiencia de la Conducción y Aplicación | 41 |
| Tabla 7-6: Resumen del potencial de reducción de la demanda de agua | 41 |
| Tabla 8-1: Hectáreas por fuente, Río Mendoza. | 42 |
| Tabla 8-2: Balance Hídrico, Río Mendoza - Ha Cultivadas. | 43 |
| Tabla 8-3: Hectáreas por fuente, Río Tunuyán. | 44 |
| Tabla 8-4: Balance Hídrico, Río Tunuyán - Ha Cultivadas | 44 |
| Tabla 8-5: Hectáreas por fuente, Río Diamante. | 45 |
| Tabla 8-6: Balance Hídrico, Río Diamante - Ha Cultivadas. | 45 |
| Tabla 8-7: Hectáreas por fuente, Río Atuel. | 45 |
| Tabla 8-8: Balance Hídrico, Río Atuel - Ha Cultivadas. | 46 |
| Tabla 8-9: Hectáreas por fuente, Río Malargüe. | 46 |
| Tabla 8-10: Balance Hídrico, Río Malargüe - Ha Cultivadas | 47 |
| Tabla 8-11: Escenario 2 – Ha. Cultivadas. | 47 |
| Tabla 8-12: Escenario 2 – Balance Hídrico. | 48 |
| Tabla 8-13: Escenario 3 – Ha. Cultivadas. | 49 |
| Tabla 8-14: Escenario 3 – Balance Hídrico. | 50 |
| Tabla 8-15: Resumen | 51 |
| | |
| LISTA DE FIGURAS | |
| Figura 4-1: Proyección de caudales anuales en el río Mendoza. | 8 |
| Figura 4-2: Proyección de caudales anuales en el río Mendoza y confiabilidad para un n | ivel |
| de abastecimiento de 1.000 Mm3 por año. | 9 |

| Figura 4-3: Proyección de caudales anuales en el río Mendoza y nivel de abastecimiento de |
|---|
| 1200 mm3/año |
| Figura 4-4: Ejemplo de escenario futuro y nivel de abastecimiento propuesto (línea roja)11 |
| Figura 4-5: Cuencas hídricas usadas para la modelización hidrológica con HBV.IANIGLA. |
| Se marcan los puntos de cierre de estas (círculos amarillos) y las estaciones |
| hidrometeorológicas analizadas y procesadas (círculos negros). (IANIGLA, 2023)13 |
| Figura 4-6: Distribución actual (2020) y de la proyección de los caudales anuales en los ríos |
| (a) Mendoza, (b) Tunuyán, (c) Diamante, (d) Atuel y (e) Malargüe para 2030, 2040 y 2050.14 |
| Figura 4-7: Río Mendoza variación de, (a) Probabilidad de Abastecimiento, (b) |
| Abastecimiento Promedio y (c) Déficit Promedio, para distintos Niveles de Abastecimiento y |
| Capacidad de Almacenamiento Fija (395 mm3) para 2020, 2030, 2040 y 205018 |
| Figura 4-8: Río Mendoza variación de, (a) Probabilidad de Abastecimiento y (b) |
| Abastecimiento Promedio, para distintos Niveles de Abastecimiento y Capacidad de |
| Almacenamiento Fija que duplica la existente (800 mm3) para 2020, 2030, 2040 y 205019 |
| Figura 4-9: Río Tunuyán variación de, (a) Probabilidad de Abastecimiento, (b) |
| Abastecimiento Promedio y (c) Déficit Promedio, para distintos Niveles de Abastecimiento y |
| Capacidad de Almacenamiento Fija (276 mm³) para 2020, 2030, 2040 y 205020 |
| Figura 4-10: Río Tunuyán variación de, (a) Probabilidad de Abastecimiento y (b) |
| Abastecimiento Promedio, para distintos Niveles de Abastecimiento y Capacidad de |
| Almacenamiento Fija que duplica la existente (600 mm³) para 2020, 2030, 2040 y 205021 |
| Figura 4-11: Derrames en La Angostura y volumen erogado por Valle Grande23 |
| Figura 4-12: Relación entre los derrames en La Angostura y volumen erogado por Valle |
| Grande. 23 |
| Figura 4-13: Río Atuel variación de, (a) Probabilidad de Abastecimiento, (b) Abastecimiento |
| Promedio y (c) Déficit Promedio, para distintos Niveles de Abastecimiento y Capacidad de |
| Almacenamiento Fija (352 mm³) para 2020, 2030, 2040 y 205024 |
| Figura 4-14: Río Atuel variación de, (a) Probabilidad de Abastecimiento y (b) |
| Abastecimiento Promedio, para distintos Niveles de Abastecimiento y Capacidad de |
| Almacenamiento Fija que duplica la existente (700 mm3) para 2020, 2030, 2040 y 205026 |
| Figura 4-15: Río Diamante variación de, (a) Probabilidad de Abastecimiento, (b) |
| Abastecimiento Promedio y (c) Déficit Promedio, para distintos Niveles de Abastecimiento y |
| Capacidad de Almacenamiento Fija (544 mm³) para 2020, 2030, 2040 y 205027 |

LISTA DE APÉNDICES (ARCHIVO ZIP)

| Escenario | Archivos Excel - todas las cuencas - (Archivo |
|-----------|---|
| 1 | Zip) |
| Escenario | Archivos Excel - todas las cuencas - (Archivo |
| 2 | Zip) |
| Escenario | Archivos Excel - todas las cuencas - (Archivo |
| 3 | Zip) |

1. INTRODUCCIÓN

El informe presenta tres escenarios futuros para la evaluación del balance hídrico en la provincia de Mendoza.

Dichos escenarios se realizaron con base en la demanda proyectada (Reporte N°3 - Proyecciones de demanda) y la oferta hídrica proyectada (Reporte N°2 - Proyecciones de la Oferta).

Se presenta la oferta hídrica sostenible en función de la oferta disponible actual y el volumen de almacenamiento existente en cada cuenca.

Los déficits proyectados resultantes del balance indican la necesidad de implementar mejoras en el futuro.

El objetivo del Informe Nº 5 es definir las actividades para disminuir la demanda, aumentar la eficiencia del suministro de agua y reducir al mínimo el déficit.

2. RESUMEN EJECUTIVO

El Reporte Nº4 aborda el balance hídrico de la Provincia de Mendoza, proyectando tres escenarios prospectivos:

- 1. La situación actual, considerando la superficie cultivada actual.
- 2. Un escenario que incluye la totalidad de la superficie, con derecho de riego, cultivada
- 3. Un escenario que contempla una adición del 50% de las hectáreas con derecho.

El balance hídrico se efectúa con un horizonte temporal hacia los años 2030, 2040 y 2050.

La siguiente tabla presenta un resumen del primer y segundo escenario, incluyendo las hectáreas cultivadas, la demanda total y el déficit resultante para los años 2020, 2030, 2040 y 2050.

Tabla 2-1: Resumen - Escenarios 1 y 2.

| | | Escenario 1 | | | | Escenario 2 | | | | |
|------|----------|-------------------|--------------------------|------------------------|------------------|-------------|-------------------|--------------------------|------------------------|------------------|
| | Cuenca | HA. Cultivadas | Oferta Total (Hm³) | Demanda Bruta (Hm³) | Déficit (Hm³) | | HA. Cultivadas | Oferta Total (Hm³) | Demanda Bruta (Hm³) | Déficit (Hm³) |
| | Mendoza | 91.824 | 1.836 | 2.157 | -320 | | 122.272 | 1.856 | 2.741 | -885 |
| | Tunuyán | 141.643 | 2.538 | 2.524 | 14 | | 198.109 | 2.760 | 3.405 | -645 |
| 2020 | Diamante | 45.280 | 1.226 | 1.276 | -50 | ĺ | 73.593 | 1.298 | 1.990 | -692 |
| | Atuel | 53.620 | 871 | 997 | -126 | | 85.662 | 871 | 1.565 | -694 |
| | Malargüe | 7.839 | 240 | 153 | 87 | ĺ | 7.839 | 240 | 153 | 87 |
| | | | | | | | | | | |
| | Mendoza | 91.824 | 1.739 | 2.296 | -557 | | 122.272 | 1.760 | 2.915 | -1.155 |
| | Tunuyán | 141.643 | 2.522 | 2.602 | -80 | | 198.109 | 2.751 | 3.506 | -755 |
| 2030 | Diamante | 45.280 | 1.196 | 1.370 | -175 | Ī | 73.593 | 1.273 | 2.138 | -865 |
| | Atuel | 53.620 | 866 | 1.032 | -166 | | 85.662 | 866 | 1.620 | -754 |
| | Malargüe | 7.839 | 230 | 159 | 71 | | 7.839 | 230 | 159 | 71 |
| | | | | | | | | | | |
| | Mendoza | 91.824 | 1.698 | 2.331 | -633 | | 122.272 | 1.719 | 2.950 | -1.232 |
| | Tunuyán | 141.643 | 2.550 | 2.667 | -117 | | 198.109 | 2.783 | 3.590 | -807 |
| 2040 | Diamante | 45.280 | 1.116 | 1.391 | -275 | | 73.593 | 1.195 | 2.168 | -973 |
| | Atuel | 53.620 | 754 | 1.054 | -300 | | 85.662 | 754 | 1.653 | -899 |
| | Malargüe | 7.839 | 190 | 162 | 28 | | 7.839 | 190 | 162 | 28 |
| | | | | | | | | | | |
| | Mendoza | 91.824 | 1.597 | 2.369 | -772 | | 122.272 | 1.618 | 2.989 | -1.371 |
| | Tunuyán | 141.643 | 2.531 | 2.733 | -202 | Ī | 198.109 | 2.769 | 3.675 | -906 |
| 2050 | Diamante | 45.280 | 998 | 1.411 | -413 | | 73.593 | 1.078 | 2.198 | -1.120 |
| | Atuel | 53.620 | 724 | 1.076 | -352 | | 85.662 | 724 | 1.687 | -963 |
| | Malargüe | 7.839 | 150 | 165 | -15 | | 7.839 | 150 | 165 | -15 |

3. OBJETIVO DEL INFORME

El Informe Nº 4 está enfocado en la evaluación del déficit, actual y proyectado, resultante de la demanda hídrica actual y proyectada considerando la gestión sustentable del recurso hídrico.

4. CÁLCULO DE NIVELES DE ABASTECIMIENTO SOSTENIBLES

4.1. METODOLOGÍA

La presentación del recurso hídrico muestra una amplia variabilidad tanto estacional (dentro del año) como interanual. Por lo tanto, es esencial realizar una evaluación exhaustiva de las variaciones hidro-climáticas y las tendencias de cambio para comprender, mitigar y adaptarse a las mismas.

La planificación a largo plazo implica definir cuánto es posible abastecer de manera constante cada año y prepararse para enfrentar los cambios.

En el gráfico siguiente se presentan las proyecciones de derrame realizadas por IANIGLA para el río Mendoza, considerando el escenario SSP 5.85 del cambio climático. Si no existiera capacidad de regulación en esa cuenca (que actualmente es de unos 395 hm³), el derrame mínimo proyectado (664 hm³) sería el que define el nivel de abastecimiento sostenible, bajo las condiciones del citado escenario de emisiones.

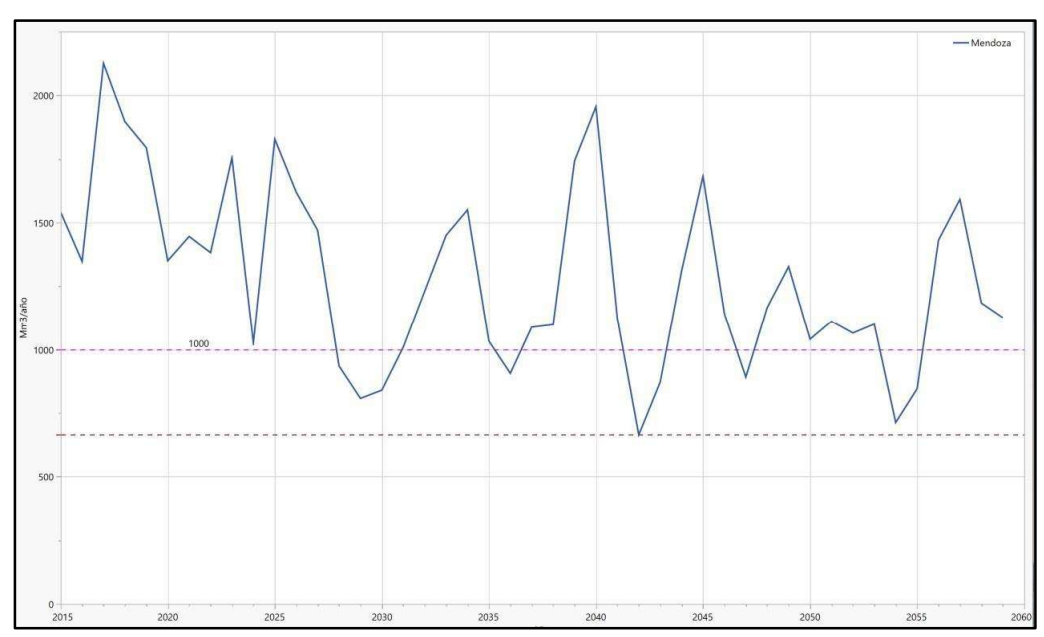


Figura 4-1: Proyección de caudales anuales en el río Mendoza.

A modo de ejemplo teórico, si el nivel de abastecimiento fuera fijado en 1.000 hm³, habría años en los que no sería posible abastecer el nivel propuesto: 2 años en la década del 2020/30, 2 años en la década del 2030/40 y 3 años en la década del 2040/50 (Figura 4-2).

Se define a la confiabilidad como la cantidad de años que es posible cumplir ese nivel de abastecimiento en cada década, por lo tanto, si existen 2 años sobre 10 que no se abastece ese nivel, la confiabilidad es del 80%. Retomando el ejemplo práctico, para un nivel de

abastecimiento de 1.000 hm³ por año, la confiabilidad para cada década sería del 80% para 2020/30; 80% para 2030/40 y del 70% para 2040/50.

Si el sistema posee un volumen de almacenamiento (reservorio de regulación), el mismo debe ser considerado a la hora de estimar su nivel de confiabilidad. El almacenar excedentes de agua en años de derrames mayores para ser usados en los años en los cuales los derrames son menores que el nivel de abastecimiento fijado, permite aumentar esos niveles de abastecimiento e incrementar la confiabilidad del sistema.

En la actualidad la capacidad de regulación (capacidad de los embalses) en los ríos de la provincia es menor que el derrame de sus ríos, por lo tanto, la regulación es estacional, utilizando el agua almacenada en los embalses que excede las demandas del ciclo anterior para satisfacer las demandas de la primavera siguiente.

En el ejemplo anterior, considerando la existencia de embalses de regulación, todos los años en los cuales habría más de 1.000 hm³, los excesos podrían almacenarse para ser usados en los años con menos de 1.000 hm³, lo que elevaría la confiabilidad a un 100% para ese nivel de abastecimiento.

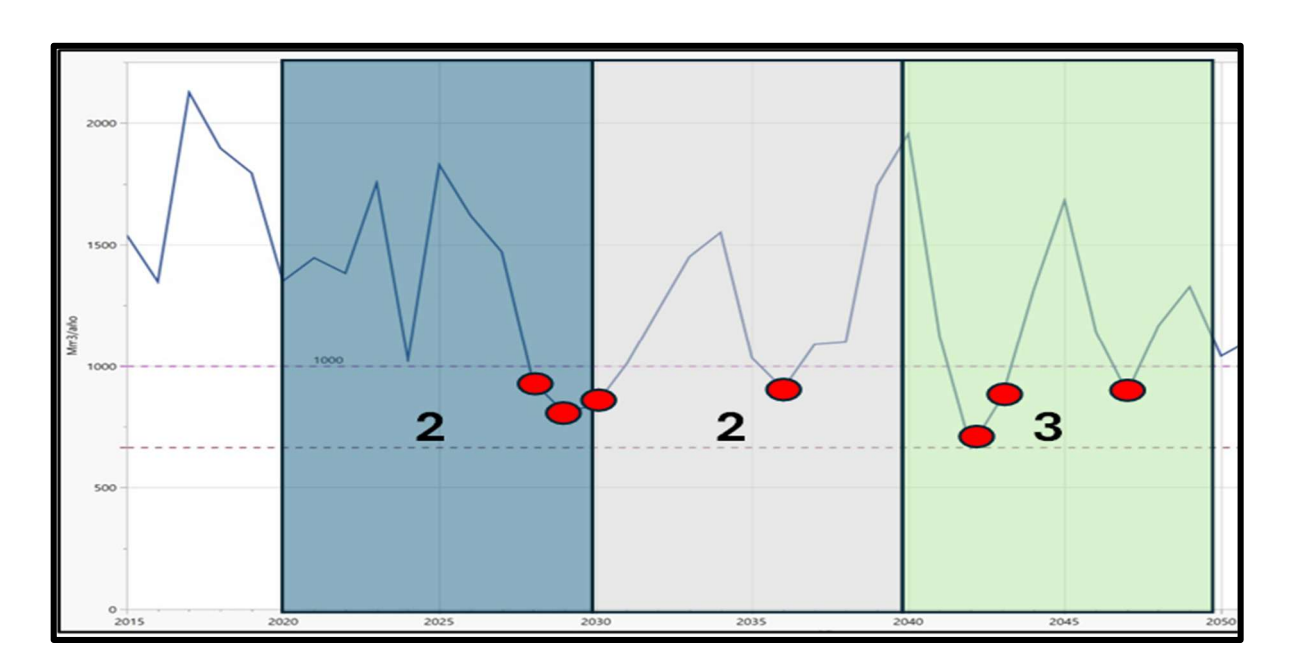


Figura 4-2: Proyección de caudales anuales en el río Mendoza y confiabilidad para un nivel de abastecimiento de 1.000 Mm3 por año.

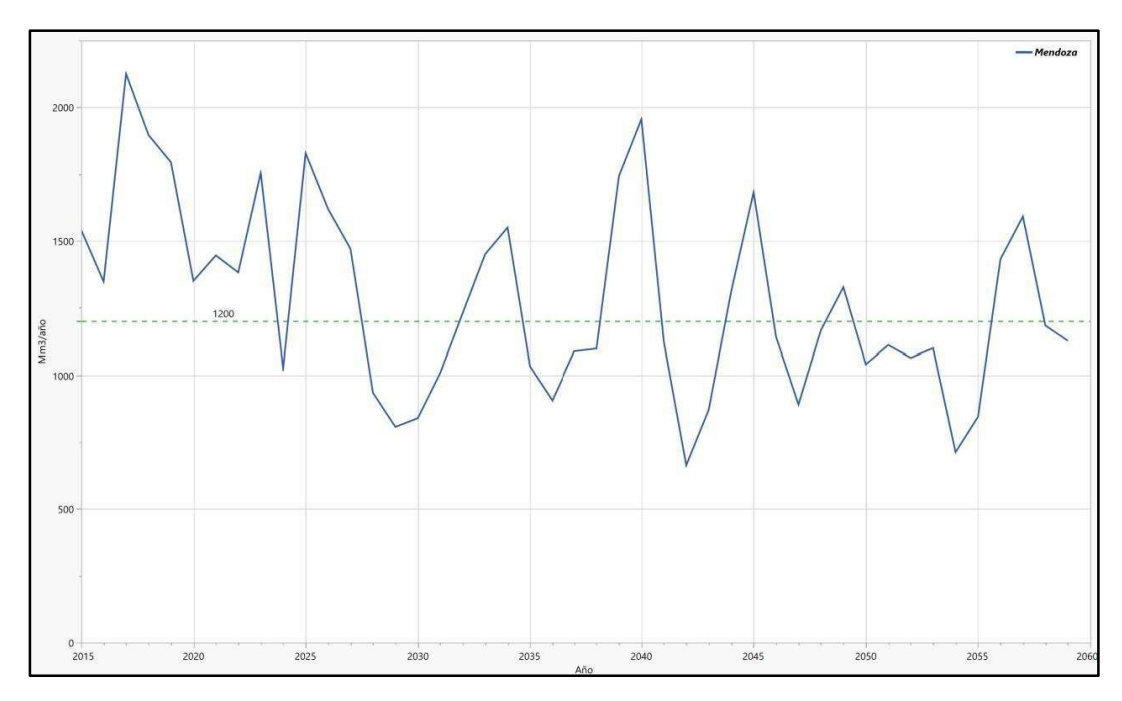


Figura 4-3: Proyección de caudales anuales en el río Mendoza y nivel de abastecimiento de 1200 mm3/año.

Un nivel de abastecimiento de 1.200 hm³, (ver Figura 4-3) tiene la misma cantidad de años por encima y por debajo de ese valor, lo que inicialmente podría sugerir que, si la capacidad de almacenamiento es suficiente, este sería un nivel de abastecimiento con una confiabilidad del 100%.

Sin embargo, esto no es necesariamente así. El cálculo debe considerar escenarios en los que se evalúe una sucesión determinada de años, calculando si en cada año es posible abastecer el nivel propuesto. Esto implica utilizar el almacenamiento existente cuando sea necesario y aumentarlo en los años con excedentes. Es importante tener en cuenta que habrá años con excedentes en los que no será posible almacenar más agua debido a que la capacidad de almacenamiento estará completa, y también habrá años de sequía en los que los embalses no tendrán suficiente agua para completar el abastecimiento requerido. Por lo tanto, para el cálculo de la confiabilidad real de un nivel de abastecimiento se debe considerar estos diversos escenarios.

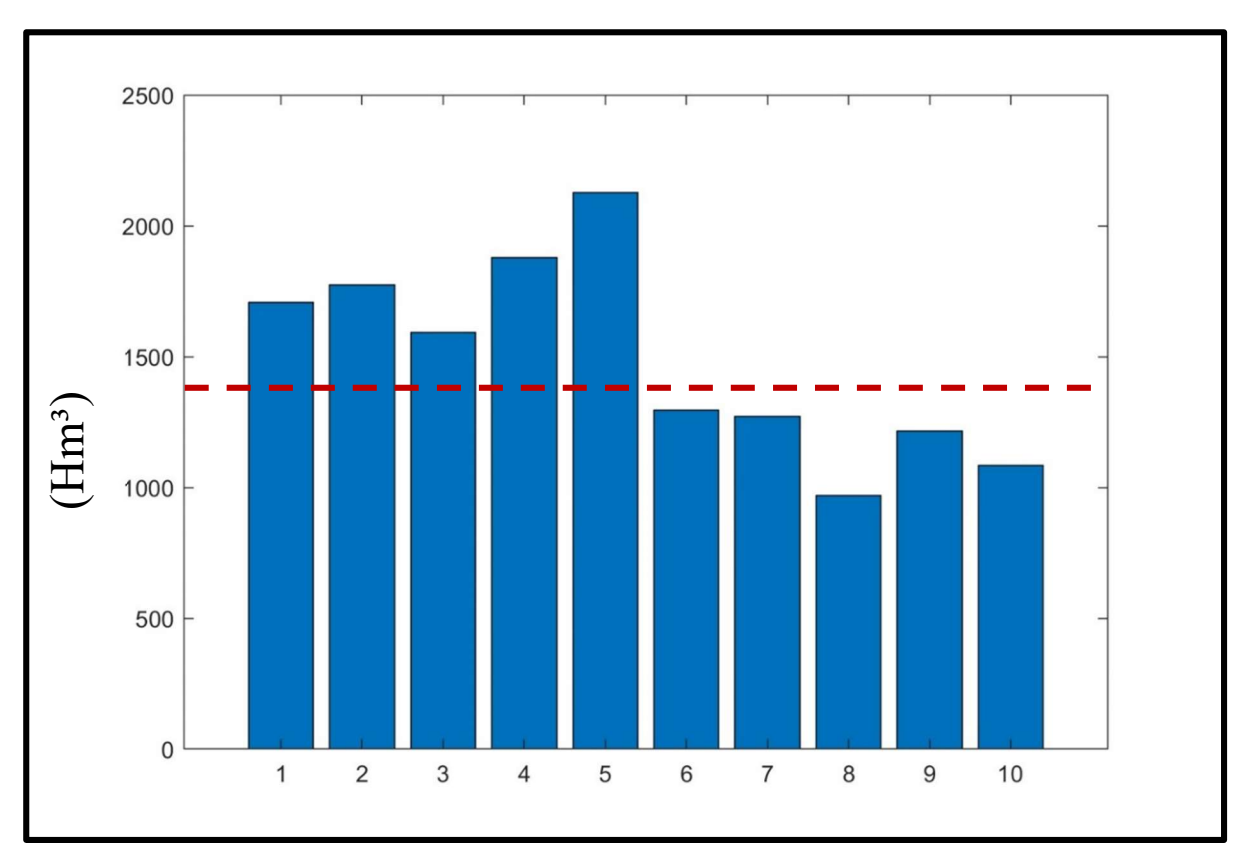


Figura 4-4: Ejemplo de escenario futuro y nivel de abastecimiento propuesto (línea roja).

Se deben simular escenarios considerando una sucesión de diferentes derrames para cada año dentro de una década (ver Figura 4-4). Este proceso considera que el primer año los reservorios se encuentran a la mitad de su capacidad de almacenamiento y se procede a comparar la cantidad de agua recibida con el nivel de abastecimiento propuesto. Si hay excedentes, estos se almacenan, siempre y cuando exista capacidad de hacerlo.

En el ejemplo de la Figura 4-4, hay excedentes hasta el quinto año, lo que lleva a alcanzar la capacidad máxima de almacenamiento después de abastecer las demandas de aguas bajo. A partir del sexto año, se recibe menos agua de la necesaria y entonces se abastece la diferencia con volumen del reservorio hasta que este se vacía completamente.

Este tipo de cálculo, ilustrado para una década, se realiza para una gran cantidad de escenarios (1.000).

Se llevan a cabo dos tipos de simulaciones:

1. Capacidad de almacenamiento fijo, nivel de abastecimiento variable: Se analizan distintos niveles de abastecimiento considerando que la capacidad de almacenamiento es inalterable, inicialmente tomando en cuenta la capacidad existente actualmente.

2. Nivel de abastecimiento fijo, capacidad de almacenamiento variable: Se analiza cómo cambia el nivel de abastecimiento al variar la capacidad de almacenamiento.

Para el análisis de la situación inicial se considera la capacidad de almacenamiento actual, para los escenarios futuros donde se cambia el nivel de abastecimiento. Este aumento del nivel de almacenamiento puede ser mediante embalses o mediante el aumento del almacenamiento en los acuíferos.

Los resultados se resumen para cada década obteniendo los siguientes parámetros operacionales:

- Probabilidad de abastecimiento: la cantidad de años en los que se abasteció el nivel propuesto para cada nivel de abastecimiento.
- Abastecimiento promedio: el promedio anual abastecido.
- Déficit promedio anual: el promedio de todos los años en los que hubo déficit.

Estos escenarios se basan en las proyecciones del agua disponible futura en cada una de las cuencas.

4.2. AGUA DISPONIBLE

El IANIGLA realizó proyecciones de caudales anuales hasta el año 2060 para cada cuenca de la provincia ("Proyecciones del Clima y de la Oferta Hídrica para las Próximas Décadas en la Provincia de Mendoza", 2023). Estas proyecciones son de volúmenes diarios en las siguientes estaciones de aforo (ver Figura 5-5): Guido (Mendoza), Valle de Uco (Tunuyán), La Jaula (Diamante), La Angostura (Atuel), La Barda (Malargüe) y La Gotera (Grande).

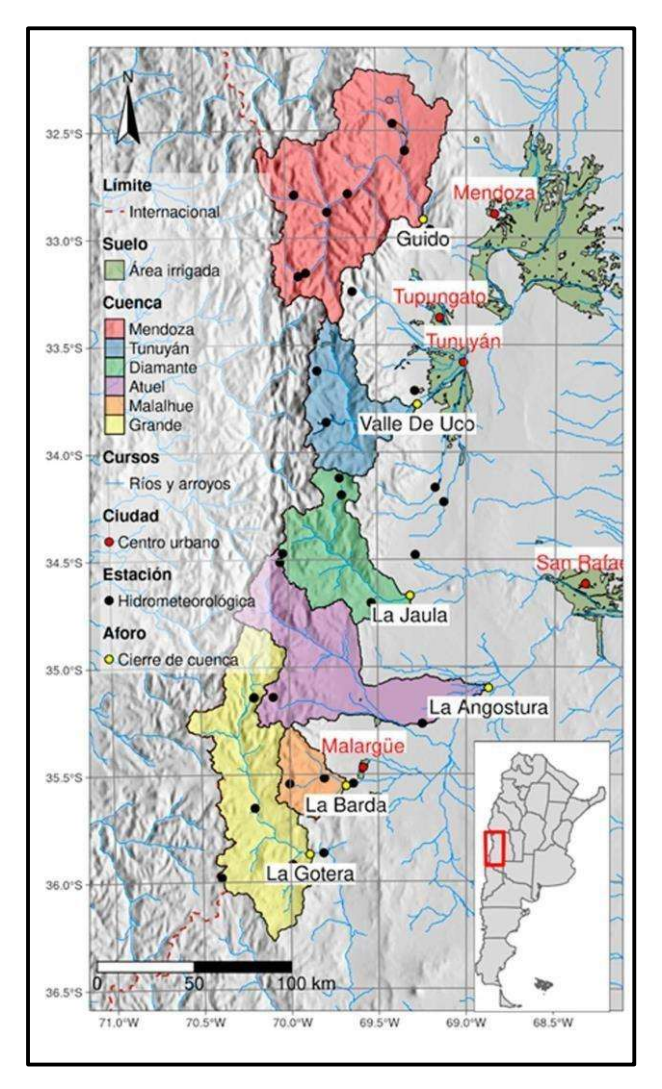


Figura 4-5: Cuencas hídricas usadas para la modelización hidrológica con HBV.IANIGLA. Se marcan los puntos de cierre de estas (círculos amarillos) y las estaciones hidrometeorológicas analizadas y procesadas (círculos negros). (IANIGLA, 2023).

A continuación, se presentan mediante distribución del tipo log-normal, las proyecciones que mejor ajustaron para los caudales de los ríos de la provincia para 2030, 2040 y 2050.

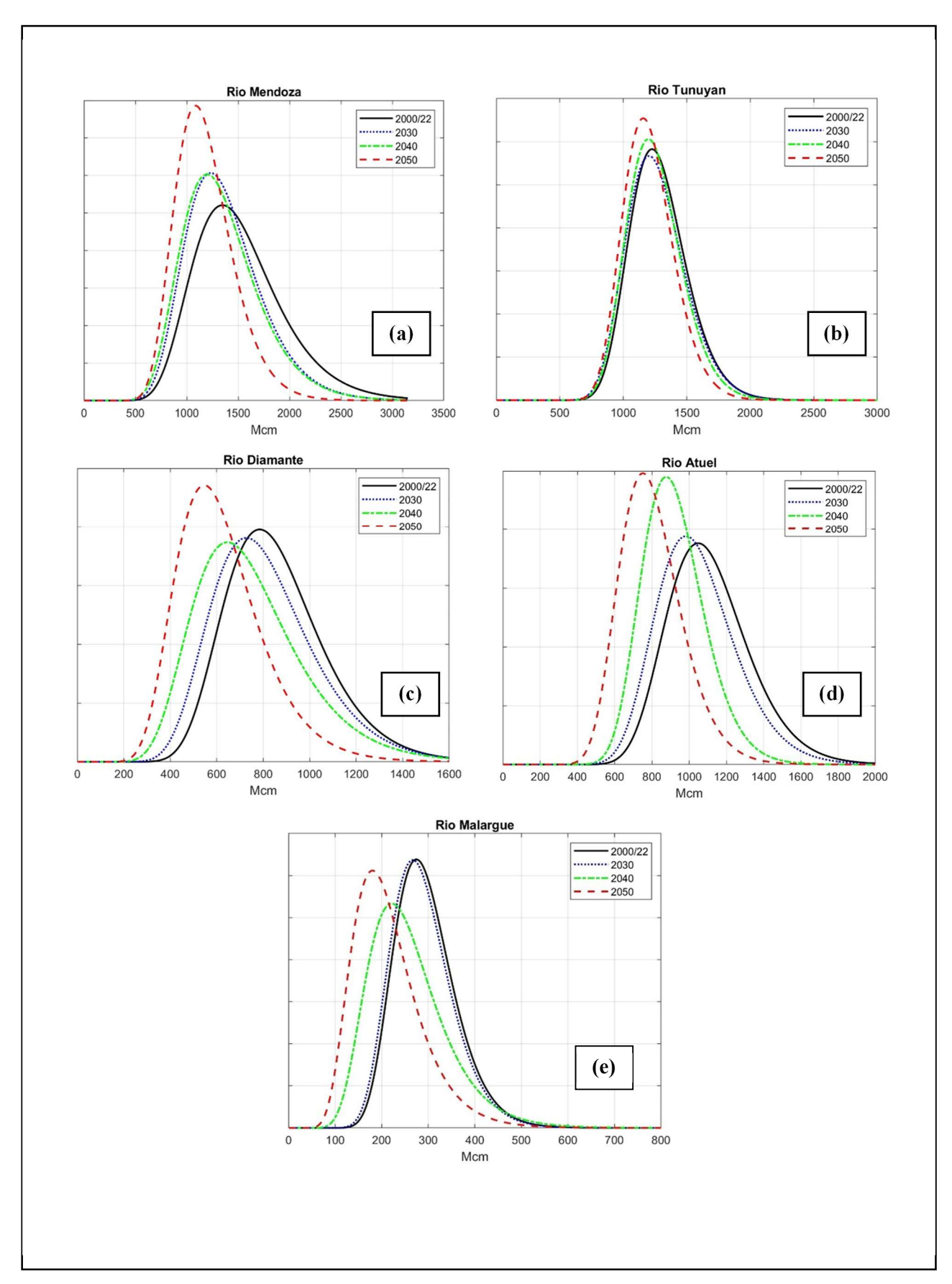


Figura 4-6: Distribución actual (2020) y de la proyección de los caudales anuales en los ríos (a) Mendoza, (b) Tunuyán, (c) Diamante, (d) Atuel y (e) Malargüe para 2030, 2040 y 2050.

Para calcular el Agua Disponible Total para cada cuenca se debe definir la relación existente entre el Agua Disponible Superficial y Subterránea.

En la cuenca del Río Mendoza, existe un aporte al acuífero en la región de precordillera, que no se considera en el punto de cierre de la cuenca en Guido. De acuerdo con balances realizados en la DGI, este aporte se estima en un 5% del volumen anual del río.

En el Río Tunuyán, hay tres aportes que deben ser considerados con las correspondientes estimaciones en porcentaje:

- Arroyos Cordillera Frontal (27%),
- Manantiales (33%),
- Agua subterránea originaria en la cuenca del Río Mendoza (8%).

En el río Diamante existen una serie de aportes que no son considerados en las proyecciones del IANIGLA ya que sus aportes se producen aguas abajo de la estación La Jaula. Corresponden a los arroyos La Faja, Hondo, Carrizalito y aportes pluviales de escorrentía pluvial entre el embalse Agua del Toro y Los Reyunos. En base a datos provistos por la Subdelegación del río Diamante y utilizando las series de caudales de la Subsecretaría de Recursos Hídricos de la Nación y el movimiento del volumen en el sistema de embalses. Los aportes no contabilizados se estiman en un 13% del derrame anual en La Jaula. Para la simulación de los escenarios de oferta para el cálculo del agua disponible, estos aportes se consideran del 10% para tener un margen de seguridad debido a las incertidumbres existentes.

En la tabla a continuación se presentan los percentiles obtenidos para el Agua Disponible Total para cada cuenca.

Tabla 4-1: Percentiles de la distribución actual (2020) y de la proyección de los caudales anuales en los ríos Mendoza, Tunuyán, Diamante, Atuel y Malargüe para 2030, 2040 y 2050.

| Cuenca | Percentil (%) | 2020 (Hm³) | 2030 (Hm³) | 2040 (Hm³) | 2050 (Hm³) |
|----------|---------------|---------------|---------------|---------------|---------------|
| | 5 | 913,74 | 850,56 | 817,82 | 777,06 |
| | 10 | 1014,1 | 938,35 | 905,22 | 847,47 |
| | 25 | 1206,3 | 1105,2 | 1072 | 979,2 |
| Mendoza | 50 | 1463,4 | 1326 | 1294,1 | 1150 |
| | 75 | 1774,7 | 1590,4 | 1561,8 | 1350,3 |
| | 90 | 2113,1 | 1874,8 | 1851,3 | 1561,5 |
| | 95 | 2344 | 2067,3 | 2048,2 | 1702,3 |
| | 5 | 787,32 | 732,66 | 671,89 | 556,66 |
| | 10 | 846,21 | 789,27 | 718,01 | 600,7 |
| | 25 | 954,27 | 893,46 | 801,98 | 681,94 |
| Atuel | 50 | 1090,9 | 1025,7 | 907,06 | 785,36 |
| | 75 | 1246,7 | 1177,2 | 1025,7 | 904,23 |
| | 90 | 1406,8 | 1333,5 | 1146,3 | 1027,2 |
| | 95 | 1511,6 | 1436,1 | 1224,6 | 1108,1 |
| | 5 | 610,9 | 549,3 | 468,7 | 404 |
| | 10 | 667 | 605,7 | 523,8 | 448,5 |
| | 25 | 779,2 | 719,8 | 637,3 | 539,5 |
| Diamante | 50 | 920,5 | 866,2 | 786,5 | 657,6 |
| | 75 | 1082,1 | 1036,7 | 964,8 | 797,1 |
| | 90 | 1256,5 | 1224 | 1165,1 | 952,1 |
| | 95 | 1382,3 | 1360,8 | 1314,2 | 1066,4 |
| | 5 | 200,13 | 193,02 | 144,96 | 115,65 |
| | 10 | 216,98 | 209,78 | 162,9 | 130,94 |
| | 25 | 248,25 | 240,98 | 197,85 | 161,02 |
| Malargüe | 50 | 288,4 | 281,2 | 245,64 | 202,69 |
| | 75 | 334,95 | 328,04 | 304,85 | 255,05 |
| | 90 | 383,52 | 377,12 | 370,65 | 314 |
| | 95 | 415,65 | 409,7 | 416,29 | 355,29 |
| | 5 | 1276 | 1244,2 | 1249,9 | 1223 |
| | 10 | 1346,2 | 1314,5 | 1316,9 | 1284,8 |
| | 25 | 1474,7 | 1443,5 | 1439,3 | 1397 |
| Tunuyán | 50 | 1636 | 1605,7 | 1592,5 | 1536,3 |
| | 75 | 1819,2 | 1790,4 | 1765,9 | 1692,8 |
| | 90 | 2006,2 | 1979,2 | 1942,4 | 1850,7 |
| | 95 | 2128,1 | 2102,5 | 2057,3 | 1952,9 |

Es posible ver que el promedio va disminuyendo para cada década en forma diferente en cada cuenca.

Tabla 4-2: Percentiles de la distribución actual (2020) y de la proyección de los caudales anuales totales en la provincia de Mendoza para 2030, 2040 y 2050.

| | Percentil (%) | 2020 (Hm³) | 2030 (Hm³) | 2040 (Hm³) | 2050 (Hm³) |
|-------|---------------|---------------|---------------|---------------|---------------|
| | 5 | 3 788.1 | 3 569.7 | 3 353.2 | 3 076.4 |
| | 10 | 4 090.5 | 3 857.6 | 3 626.8 | 3 312.4 |
| | 25 | 4 662.7 | 4 402.9 | 4 148.5 | 3 758.6 |
| Total | 50 | 5 399.1 | 5 104.8 | 4 825.8 | 4 332.0 |
| | 75 | 6 257.7 | 5 922.7 | 5 623.0 | 4 999.5 |
| | 90 | 7 166.1 | 6 788.7 | 6 475.8 | 5 705.6 |
| | 95 | 7 781.6 | 7 376.4 | 7 060.6 | 6 184.9 |

Tabla 4-3: Mediana de la distribución actual (2020) y de la proyección de los caudales anuales totales en la provincia de Mendoza para 2030, 2040 y 2050. Se presenta la reducción esperada para cada década con relación a la situación actual.

| Cuenca | 2020 (Hm³) | 2030 (Hm³) | 2040 (Hm³) | 2050 (Hm³) |
|-------------|---------------|---------------|---------------|---------------|
| Mendoza | 1463,4 | 1326,0 | 1294,1 | 1150,0 |
| Atuel | 1090,9 | 1025,7 | 907,1 | 785,4 |
| Tunuyán | 1636,0 | 1605,7 | 1592,5 | 1536,3 |
| Diamante | 920,5 | 866,2 | 786,5 | 657,6 |
| Malargüe | 288,4 | 281,2 | 245,6 | 202,7 |
| Total | 5399,1 | 5104,8 | 4825,8 | 4332,0 |
| Reducción % | | 5 | 11 | 20 |

En la tabla anterior se ve que la cantidad de agua total en toda la provincia disminuirá progresivamente en un 5, 11 y 20% en el 2030, 2040 y 2050 respectivamente.

4.3. NIVEL DE ABASTECIMIENTO SUSTENTABLE - CÁLCULOS

4.3.1. RÍO MENDOZA

Las primeras simulaciones se realizaron para la capacidad actual de almacenamiento, 395 Mm³, cambiando el nivel de abastecimiento entre 800 y 2.000 Mm³ por año. Los resultados son presentados en la Figura 4-7.

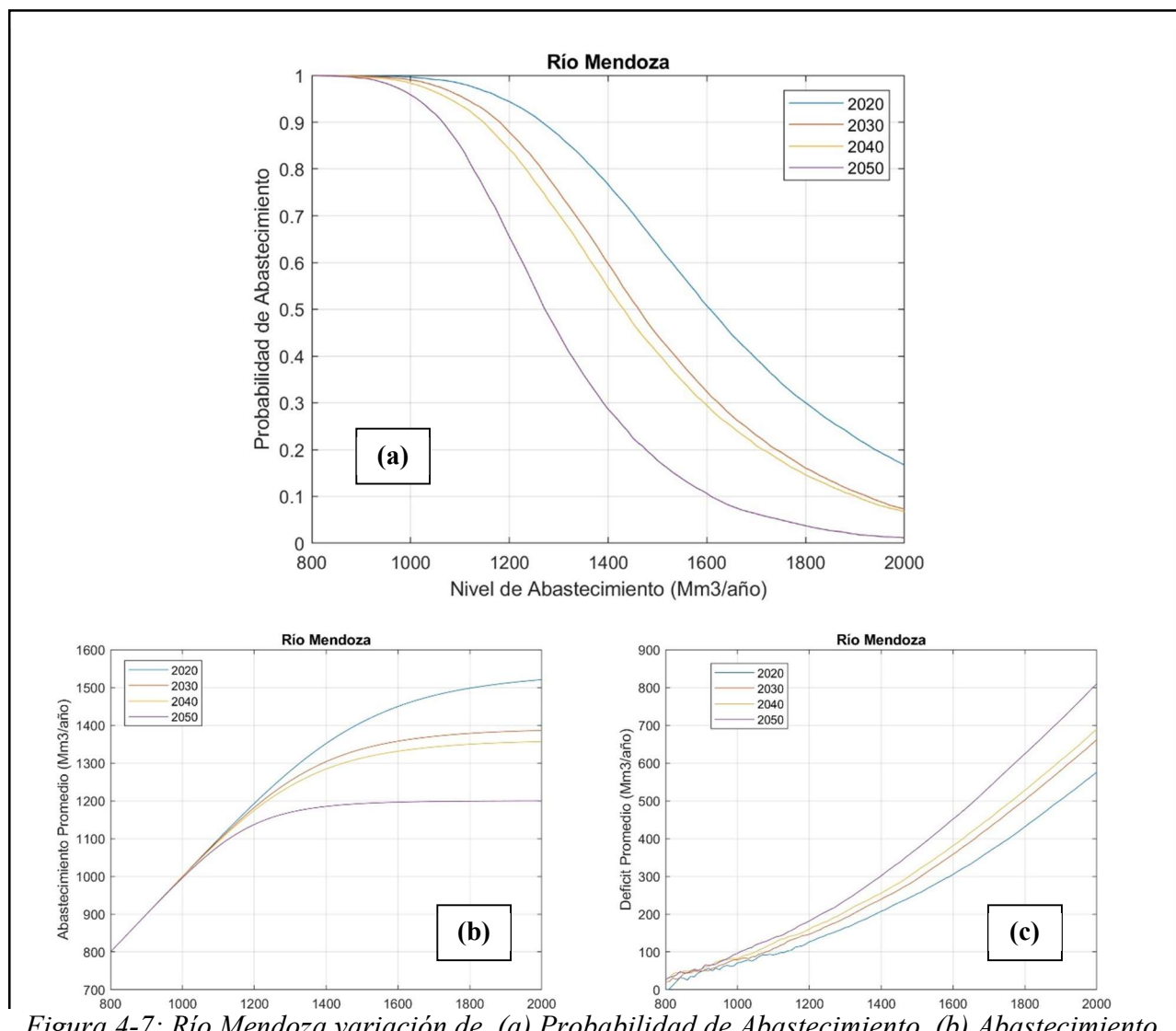


Figura 4-7: Río Mendoza variación de, (a) Probabilidad de Abastecimiento, (b) Abastecimiento Promedio y (c) Déficit Promedio, para distintos Niveles de Abastecimiento y Capacidad de Almacenamiento Fija (395 mm3) para 2020, 2030, 2040 y 2050.

La Tabla 4-4 muestra los valores obtenidos para dos niveles de confiabilidad, 90 y 80%, en cada década.

Tabla 4-4: Nivel de Abastecimiento, Abastecimiento Promedio y Déficit Promedio en la cuenca del Río Mendoza para Niveles de confiabilidad del 90 y 80% (2020, 2030, 2040 y 2050). Capacidad de Almacenamiento, 395 y 800 mm³.

| Capacidad de | Nivel de Confiabilidad | | 909 | % | | | 80 |)% | |
|---------------------|-------------------------------|-------|------|------|------|------|------|------|------|
| Almacenamiento | Década | 20201 | 2030 | 2040 | 2050 | 2020 | 2030 | 2040 | 2050 |
| | Nivel de Abastecimiento (Hm³) | 1270 | 1180 | 1150 | 1070 | 1370 | 1270 | 1230 | 1130 |
| 395 Mm ³ | Abastecimiento Promedio (Hm³) | 1255 | 1166 | 1136 | 1057 | 1333 | 1235 | 1197 | 1101 |
| | Déficit Promedio (Hm³) | 151 | 137 | 138 | 121 | 188 | 172 | 170 | 146 |
| | Nivel de Abastecimiento (Hm³) | 1380 | 1270 | 1240 | 1070 | 1470 | 1350 | 1320 | 1130 |
| 800 Mm ³ | Abastecimiento Promedio (Hm³) | 1360 | 1253 | 1222 | 1065 | 1424 | 1308 | 1277 | 1115 |
| | Déficit Promedio (Hm³) | 186 | 171 | 172 | 116 | 233 | 212 | 213 | 143 |

En una segunda etapa se realizaron simulaciones tomando una capacidad de almacenamiento de 800 Mm³ la cual duplica la actual de 395 mm³ (Figura 4-8). Aumentando el almacenamiento al doble, para una confiabilidad del 90%, se aumenta el nivel de abastecimiento en alrededor 100 mm³ en 2020, pero ese aumento se anula para el 2050 (Tabla 4-4).

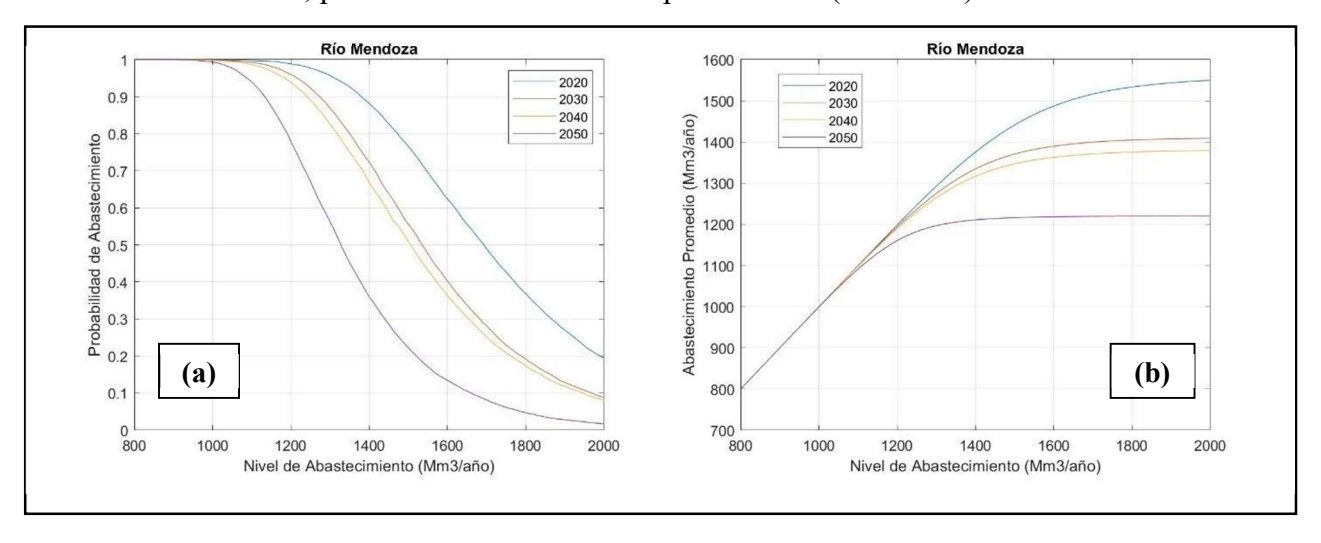


Figura 4-8: Río Mendoza variación de, (a) Probabilidad de Abastecimiento y (b) Abastecimiento Promedio, para distintos Niveles de Abastecimiento y Capacidad de Almacenamiento Fija que duplica la existente (800 mm3) para 2020, 2030, 2040 y 2050.

¹ El valor no representa el abastecimiento que fue realizado durante los últimos años, sino cual hubiera sido el nivel de abastecimiento constante sostenible.

4.3.2. RÍO TUNUYÁN

Las primeras simulaciones se realizaron para la capacidad actual de almacenamiento, 276 mm³, cambiando el nivel de abastecimiento entre 1.000 y 2.200 mm³ por año. Los resultados son presentados en la Figura 4-9.

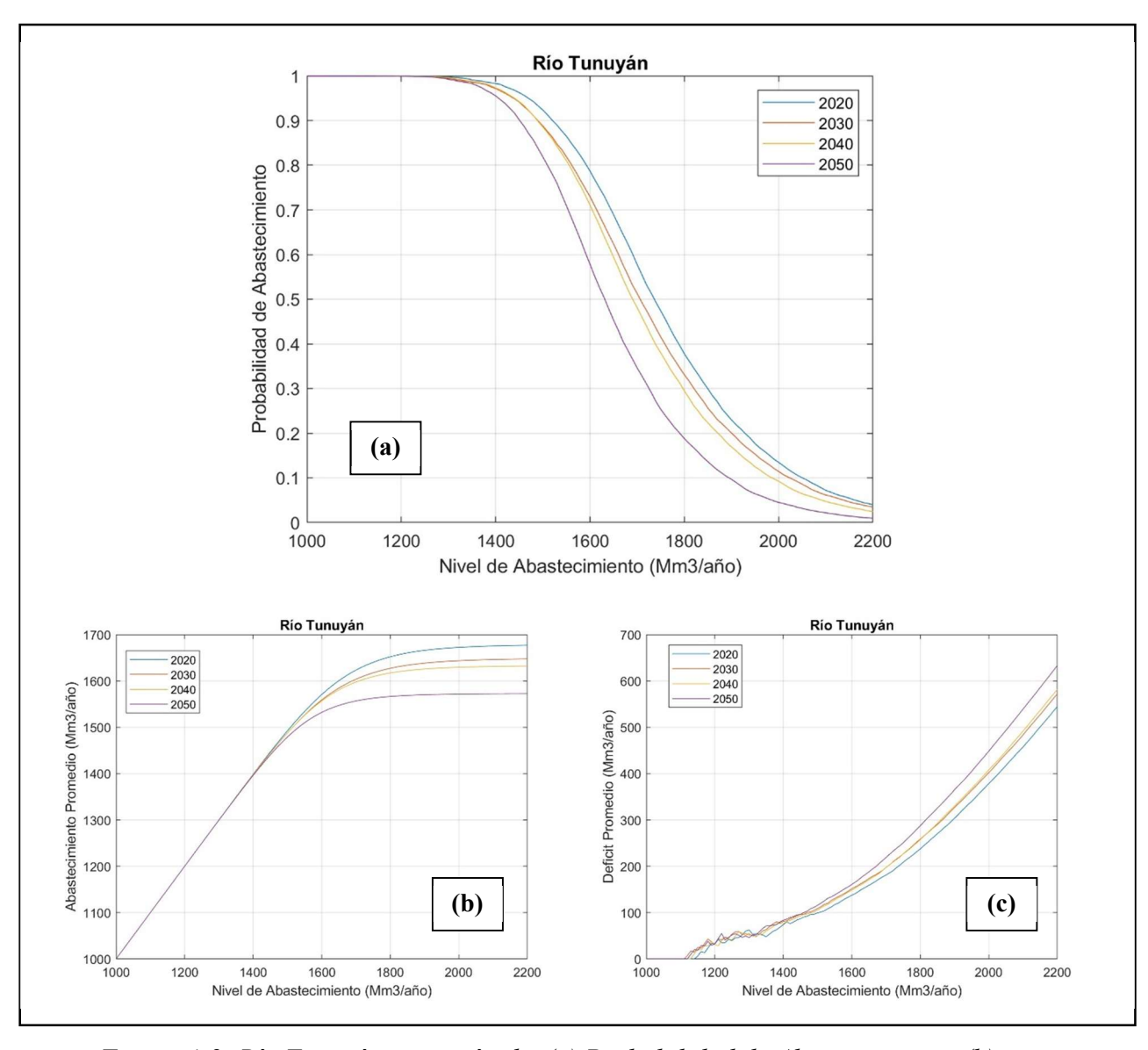


Figura 4-9: Río Tunuyán variación de, (a) Probabilidad de Abastecimiento, (b) Abastecimiento Promedio y (c) Déficit Promedio, para distintos Niveles de Abastecimiento y Capacidad de Almacenamiento Fija (276 mm³) para 2020, 2030, 2040 y 2050.

La Tabla 4-5 muestra los valores obtenidos para dos niveles de confiabilidad, 90 y 80%, en cada década.

Tabla 4-5: Nivel de Abastecimiento, Abastecimiento Promedio y Déficit Promedio en la cuenca del Río Tunuyán para Niveles de confiabilidad del 90 y 80% (2020, 2030, 2040 y 2050), 276 y 600 Mm³.

| Capacidad de | Nivel de Confiabilidad | | 90 | % | | | 80 | 1% | |
|---------------------|-------------------------------|-------------------|------|------|------|------|------|------|------|
| Almacenamiento | Década | 2020 ² | 2030 | 2040 | 2050 | 2020 | 2030 | 2040 | 2050 |
| | Nivel de Abastecimiento (Hm³) | 1520 | 1490 | 1490 | 1450 | 1590 | 1550 | 1550 | 1510 |
| 276 Mm ³ | Abastecimiento Promedio (Hm³) | 1510 | 1479 | 1480 | 1440 | 1563 | 1526 | 1525 | 1485 |
| | Déficit Promedio (Hm³) | 104 | 104 | 102 | 96 | 129 | 127 | 124 | 120 |
| | Nivel de Abastecimiento (Hm³) | 1600 | 1560 | 1560 | 1510 | 1650 | 1620 | 1610 | 1560 |
| 600 Mm ³ | Abastecimiento Promedio (Hm³) | 1585 | 1547 | 1546 | 1498 | 1619 | 1589 | 1580 | 1532 |
| | Déficit Promedio (Hm³) | 130 | 128 | 125 | 115 | 157 | 158 | 150 | 141 |

En una segunda etapa se realizaron simulaciones tomando una capacidad de almacenamiento de 600 Mm³ la cual más que duplica la actual de 276 Mm³ (Figura 4-10). Aumentando el almacenamiento al doble, para una confiabilidad del 90%, se aumenta el nivel de abastecimiento es alrededor 80 Mm³ en 2020, pero ese aumento disminuye para el 2050 a 60 Mm³ (Tabla 4-5).

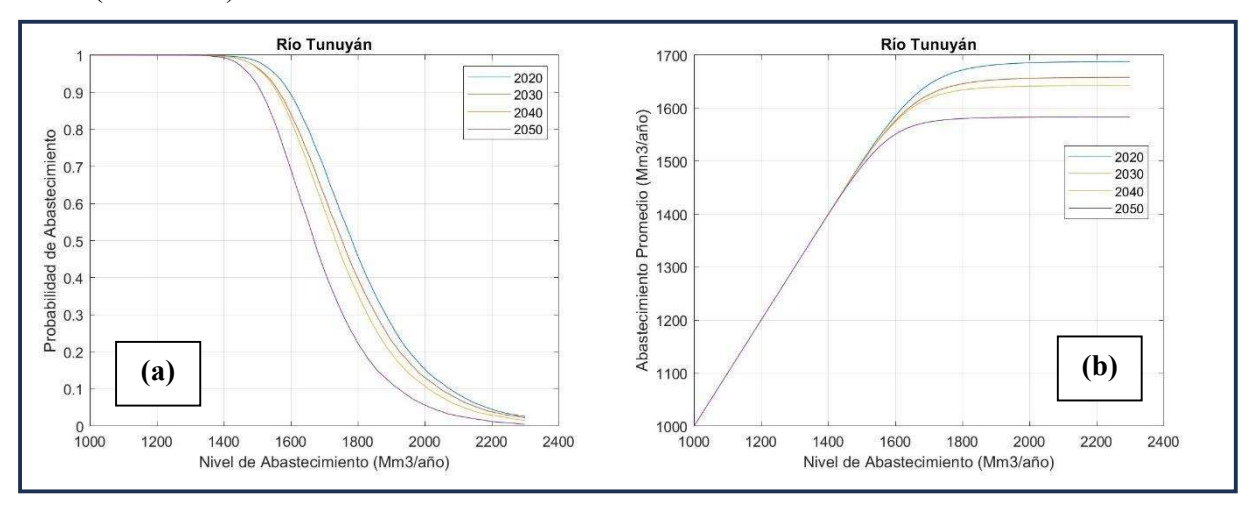


Figura 4-10: Río Tunuyán variación de, (a) Probabilidad de Abastecimiento y (b) Abastecimiento Promedio, para distintos Niveles de Abastecimiento y Capacidad de Almacenamiento Fija que duplica la existente (600 mm³) para 2020, 2030, 2040 y 2050.

² el valor no representa el abastecimiento que fue realizado durante los últimos años, sino cual hubiera sido el nivel de abastecimiento constante sostenible.

4.3.3. RÍO ATUEL

Para el análisis de los derrames proyectados del Río Atuel se tomó como punto de referencia y cierre de la cuenca en La Angostura, aguas arriba del sistema de embalses del río. No obstante, resulta apropiado realizar un análisis complementario que incluya los volúmenes de agua a la salida del embalse Valle Grande, esto permite ajustar el balance hídrico a los derrames y erogaciones que efectivamente se registran a la salida del embalse.

Para ello, se lleva a cabo un estudio que relaciona los volúmenes anuales de derrame del río en La Angostura con los volúmenes a la salida de Valle Grande. Con base en esta relación, se estima la oferta sostenible de escurrimientos superficiales para cada década a futuro.

Tabla 4-6: Derrames en La Angostura y erogaciones del embalse Valle Grande.

| G: 1 | Volúmenes en hm³/año | | | | | | |
|----------------------|----------------------|--------------|--|--|--|--|--|
| Ciclo Hidrológico | La Angostura | Valle Grande | | | | | |
| 2000/2001 | 1427 | 1265 | | | | | |
| 2001/2002 | 1435 | 1354 | | | | | |
| 2002/2003 | 1590 | 1474 | | | | | |
| 2003/2004 | 1176 | 1034 | | | | | |
| 2004/2005 | 1044 | 916 | | | | | |
| 2005/2006 | 1797 | 1631 | | | | | |
| 2006/2007 | 1509 | 1337 | | | | | |
| 2007/2008 | 1073 | 927 | | | | | |
| 2008/2009 | 1154 | 1045 | | | | | |
| 2009/2010 | 1012 | 939 | | | | | |
| 2010/2011 | 735 | 626 | | | | | |
| 2011/2012 | 940 | 681 | | | | | |
| 2012/2013 | 780 | 689 | | | | | |
| 2013/2014 | 735 | 579 | | | | | |
| 2014/2015 | 884 | 567 | | | | | |
| 2015/2016 | 993 | 777 | | | | | |
| 2016/2017 | 855 | 805 | | | | | |
| 2017/2018 | 696 | 611 | | | | | |
| 2018/2019 | 593 | 592 | | | | | |
| 2019/2020 | 671 | 474 | | | | | |
| 2020/2021 | 643 | 568 | | | | | |

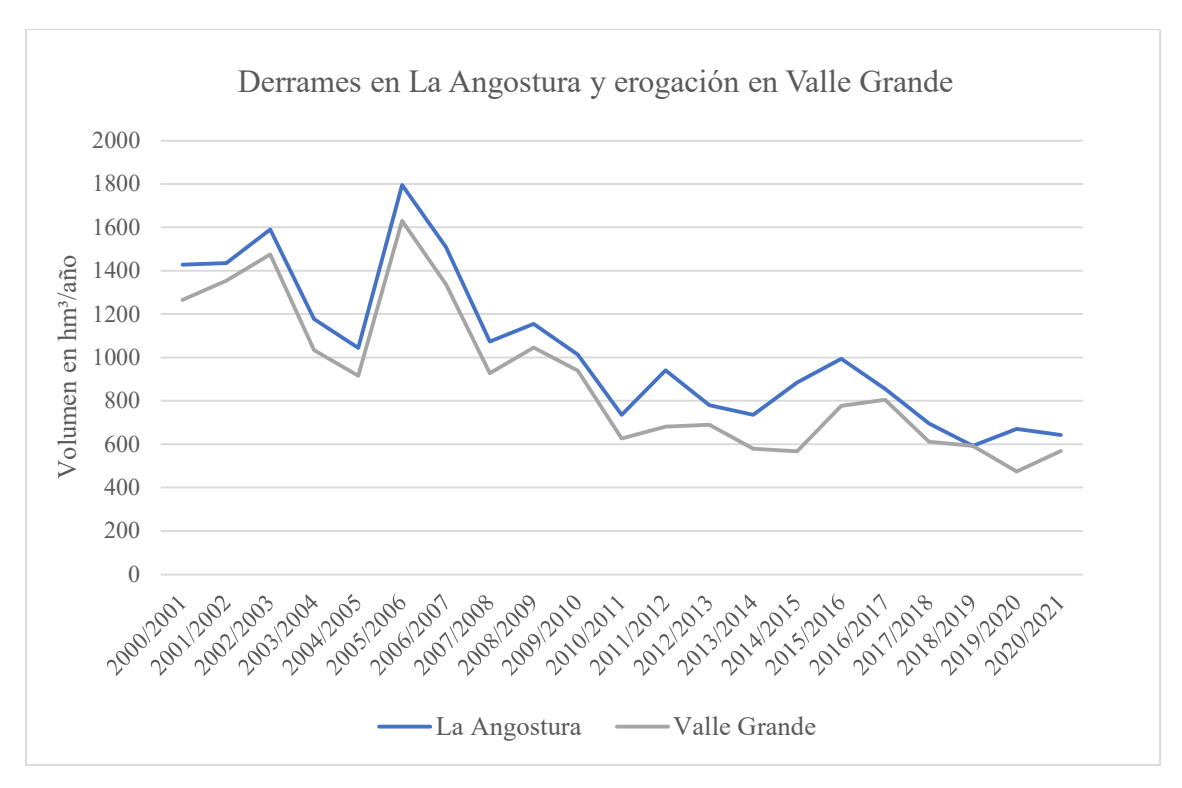


Figura 4-11: Derrames en La Angostura y volumen erogado por Valle Grande.

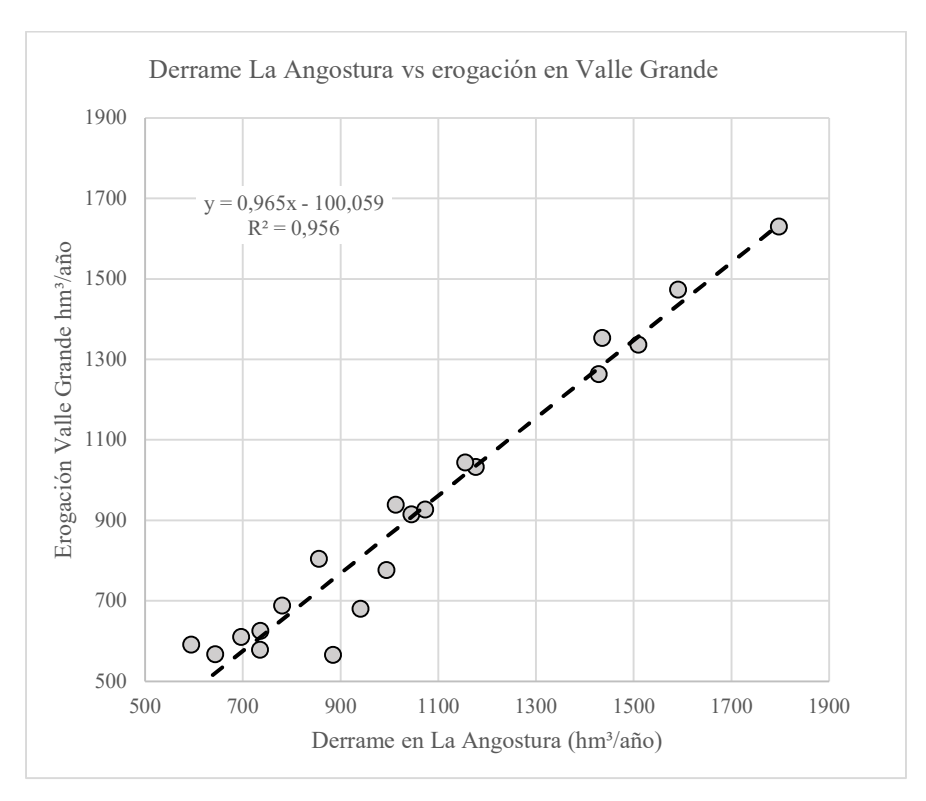


Figura 4-12: Relación entre los derrames en La Angostura y volumen erogado por Valle Grande.

A continuación, se presentan los resultados del análisis de agua superficial sostenible a futuro:

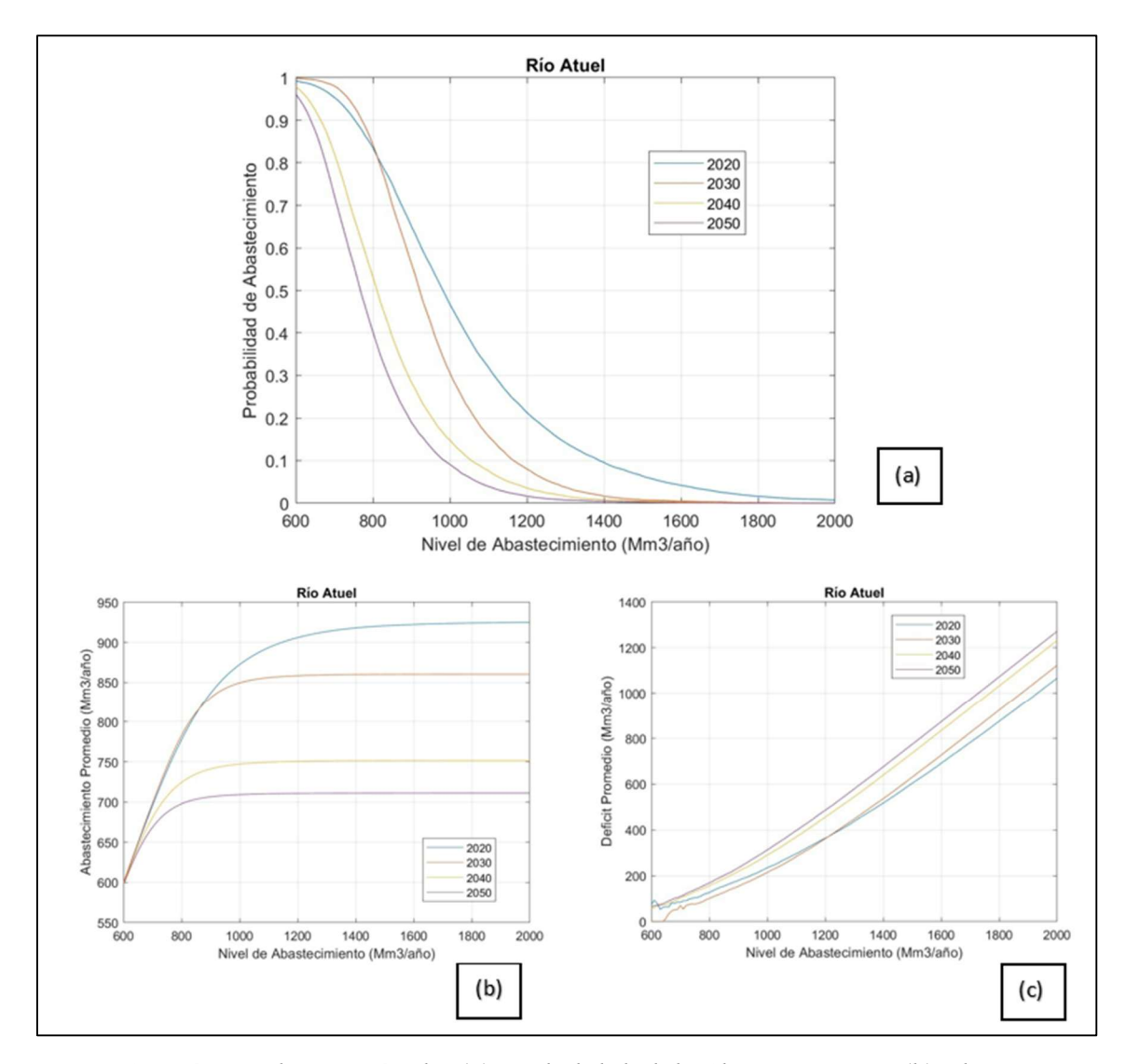


Figura 4-13: Río Atuel variación de, (a) Probabilidad de Abastecimiento, (b) Abastecimiento Promedio y (c) Déficit Promedio, para distintos Niveles de Abastecimiento y Capacidad de Almacenamiento Fija (352 mm³) para 2020, 2030, 2040 y 2050.

Al considerar el volumen sostenible a la salida del embalse Valle Grande como el nivel de abastecimiento proyectado y manteniendo constante la superficie cultivada a futuro, escenario sin cambios el déficit proyectado para cada una de las décadas analizadas queda de la siguiente manera, los mismos son expresados en hectómetros cúbicos por año para el percentil 50, y los niveles de confiabilidad del 80% y del 90%.

Tabla 4-7: Balance hídrico en hm³ para el abastecimiento correspondiente al percentil 50.

| Nivel de Confiabilidad |
|--|
| Década |
| Nivel de Abastecimiento |
| Volumen Sostenible de Agua Subterránea (según informe 2.2) |
| Demanda Proyectada |
| Déficit Promedio |

| Percentil 50% | | | | | | | | | |
|---------------|-----------------------|----------------|------|--|--|--|--|--|--|
| 2020 | 2030 | 2030 2040 2050 | | | | | | | |
| 859 | 821 | 709 | 672 | | | | | | |
| 51 | 51 | 49 | 49 | | | | | | |
| 997 | 997 1 032 1 054 1 076 | | | | | | | | |
| -87 | -160 | -296 | -355 | | | | | | |

Tabla 4-8: Balance hídrico hm³ para el abastecimiento correspondiente al nivel de confiabilidad de 90% y 80%.

| Nivel de Confiabilidad |
|--------------------------------------|
| Década |
| Nivel de Abastecimiento |
| Volumen Sostenible de |
| Agua Subterránea (según informe 2.2) |
| Demanda Proyectada |
| Déficit Promedio |

| 90% | | | | | | | | |
|------|------|------|------|--|--|--|--|--|
| 2020 | 2030 | 2040 | 2050 | | | | | |
| 750 | 770 | 660 | 635 | | | | | |
| 51 | 51 | 49 | 49 | | | | | |
| 997 | 1032 | 1054 | 1076 | | | | | |
| -196 | -211 | -344 | -392 | | | | | |

| | 80% | | | | | | | | |
|------|------|------|------|--|--|--|--|--|--|
| 2020 | 2030 | 2050 | | | | | | | |
| 820 | 815 | 705 | 675 | | | | | | |
| 51 | 51 | 49 | 49 | | | | | | |
| 997 | 1032 | 1054 | 1076 | | | | | | |
| -126 | -166 | -300 | -352 | | | | | | |

La Tabla 4-9 muestra además, el abastecimiento promedio para los dos niveles de confiabilidad antes mencionados.

Tabla 4-9: Nivel de Abastecimiento, Abastecimiento Promedio y Déficit Promedio en la cuenca del Río Atuel para Niveles de confiabilidad del 90 y 80% (2020, 2030, 2040 y 2050), 352 y 700 mm³.

| Capacidad de | Nivel de Confiabilidad | | 90 | % | | 80% | | | |
|---------------------|-------------------------------|-------|------|------|------|------|------|------|------|
| Almacenamiento | Década | 20203 | 2030 | 2040 | 2050 | 2020 | 2030 | 2040 | 2050 |
| | Nivel de Abastecimiento (Hm³) | 750 | 770 | 660 | 635 | 820 | 815 | 705 | 675 |
| 352 Mm ³ | Abastecimiento Promedio (Hm³) | 739 | 761 | 652 | 627 | 791 | 793 | 684 | 655 |
| | Déficit Promedio (Hm³) | 113 | 94 | 89 | 169 | 144 | 114 | 110 | 102 |
| | Nivel de Abastecimiento (Hm³) | 835 | 825 | 715 | 685 | 895 | 865 | 755 | 715 |
| 700 Mm ³ | Abastecimiento Promedio (Hm³) | 820 | 813 | 704 | 674 | 860 | 837 | 728 | 692 |
| | Déficit Promedio (Hm³) | 148 | 115 | 111 | 103 | 177 | 136 | 133 | 118 |

25

³ el valor no representa el abastecimiento que fue realizado durante los últimos años, sino cual hubiera sido el nivel de abastecimiento constante sostenible.

En una segunda etapa se realizaron simulaciones tomando una capacidad de almacenamiento de 700 Mm³ la cual duplica la actual de 352 mm³ (Figura 4-14). Aumentando el almacenamiento al doble, para una confiabilidad del 90%, se aumenta el nivel de abastecimiento en alrededor 85 Mm³ en 2020, pero ese aumento disminuye para el 2050 a 50 Mm³ (Tabla 5-6).

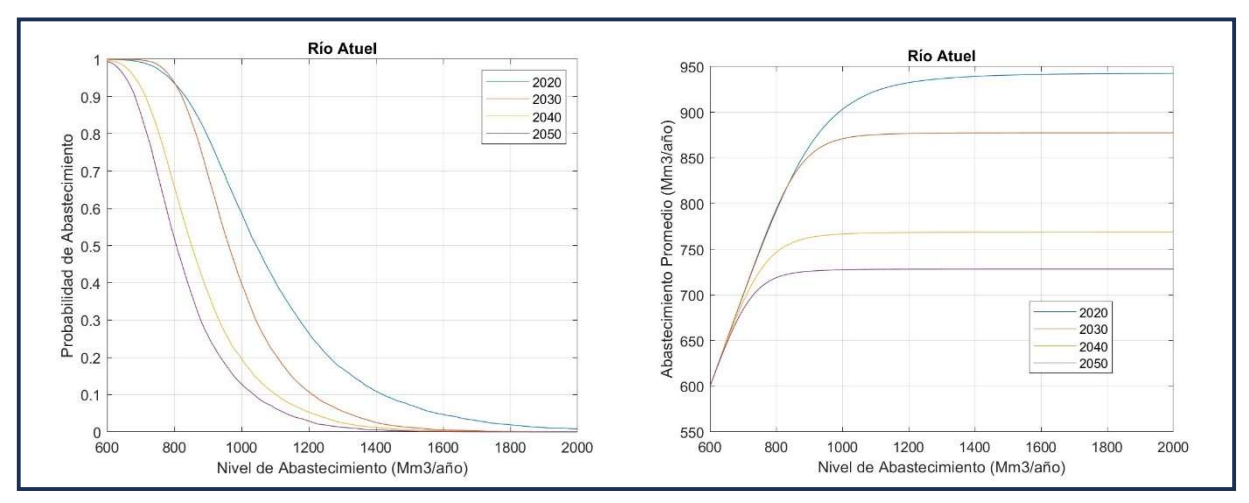


Figura 4-14: Río Atuel variación de, (a) Probabilidad de Abastecimiento y (b) Abastecimiento Promedio, para distintos Niveles de Abastecimiento y Capacidad de Almacenamiento Fija que duplica la existente (700 mm3) para 2020, 2030, 2040 y 2050.

4.3.4. RÍO DIAMANTE

Las primeras simulaciones se realizaron para la capacidad actual de almacenamiento, 544 Mm³, cambiando el nivel de abastecimiento entre 600 y 1.600 Mm³ por año. Los resultados son presentados en la Figura 4-13.

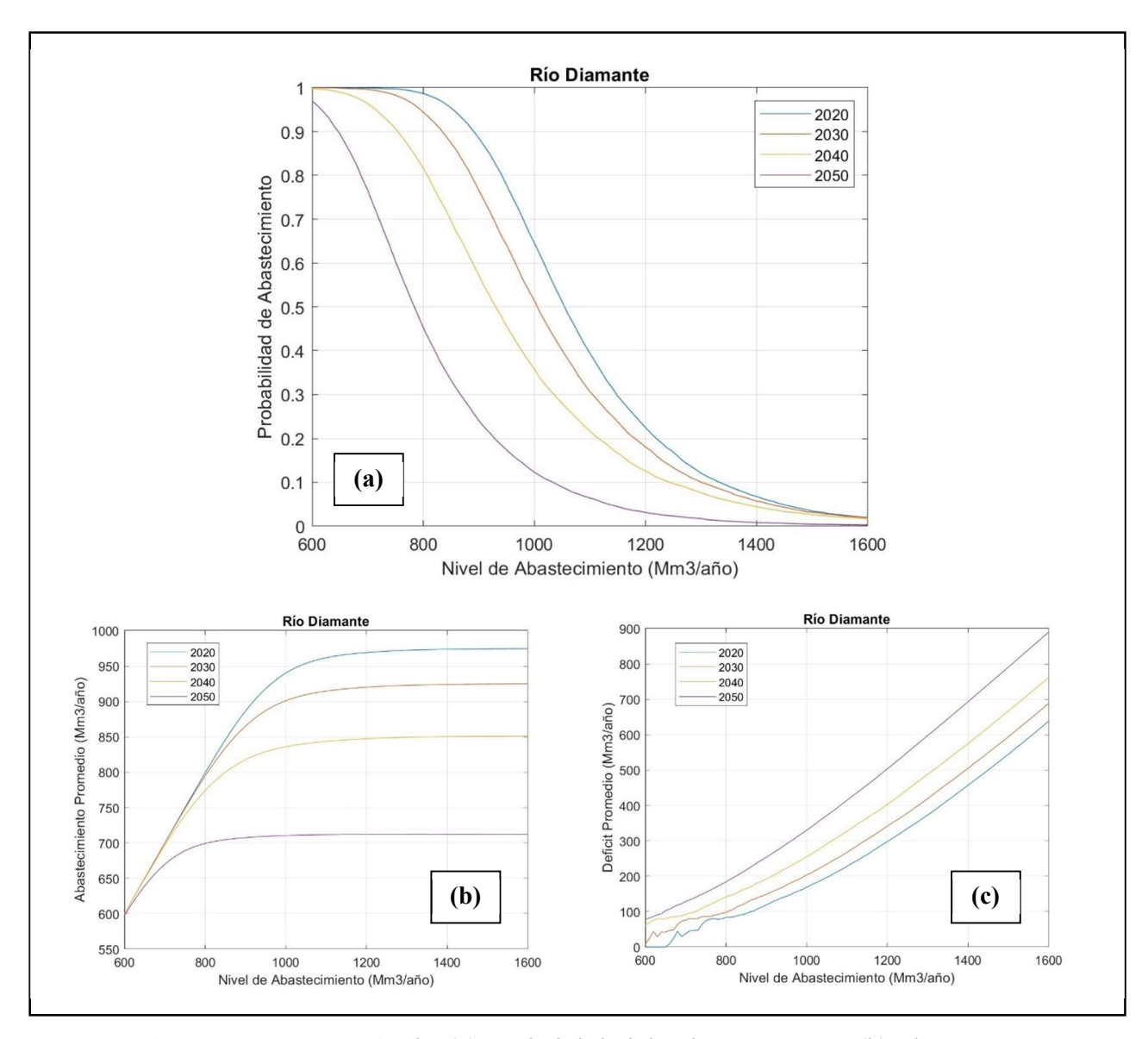


Figura 4-15: Río Diamante variación de, (a) Probabilidad de Abastecimiento, (b) Abastecimiento Promedio y (c) Déficit Promedio, para distintos Niveles de Abastecimiento y Capacidad de Almacenamiento Fija (544 mm³) para 2020, 2030, 2040 y 2050.

La Tabla 4-7 muestra los valores obtenidos para dos niveles de confiabilidad, 90 y 80%, en cada década.

Tabla 4-10: Nivel de Abastecimiento, Abastecimiento Promedio y Déficit Promedio en la cuenca del Río Diamante para Niveles de confiabilidad del 90 y 80% (2020, 2030, 2040 y 2050), 544 y 1100 mm³.

| Capacidad de | Nivel de Confiabilidad | | 90 | 2% | | 80% | | | | |
|----------------------|-------------------------------|-------------------|------|------|------|------|------|------|------|--|
| Almacenamiento | Década | 2020 ⁴ | 2030 | 2040 | 2050 | 2020 | 2030 | 2040 | 2050 | |
| | Nivel de Abastecimiento (Hm³) | 890 | 830 | 750 | 650 | 940 | 890 | 810 | 690 | |
| 544 Mm ³ | Abastecimiento Promedio (Hm³) | 879 | 819 | 739 | 639 | 912 | 860 | 780 | 665 | |
| | Déficit Promedio (Hm³) | 114 | 115 | 115 | 103 | 140 | 145 | 146 | 122 | |
| | Nivel de Abastecimiento (Hm³) | 950 | 890 | 810 | 690 | 990 | 940 | 860 | 730 | |
| 1100 Mm ³ | Abastecimiento Promedio (Hm³) | 934 | 875 | 795 | 678 | 958 | 906 | 827 | 703 | |
| | Déficit Promedio (Hm³) | 143 | 145 | 146 | 121 | 163 | 169 | 169 | 143 | |

En una segunda etapa se realizaron simulaciones tomando una capacidad de almacenamiento de 1100 Mm³ la cual duplica la actual de 544 mm³ (Figura 4-16). Aumentando el almacenamiento al doble, para una confiabilidad del 90%, se aumenta el nivel de abastecimiento en alrededor 60 mm³ en 2020, pero ese aumento disminuye para el 2050 a 40 mm³ (Tabla 4-10).

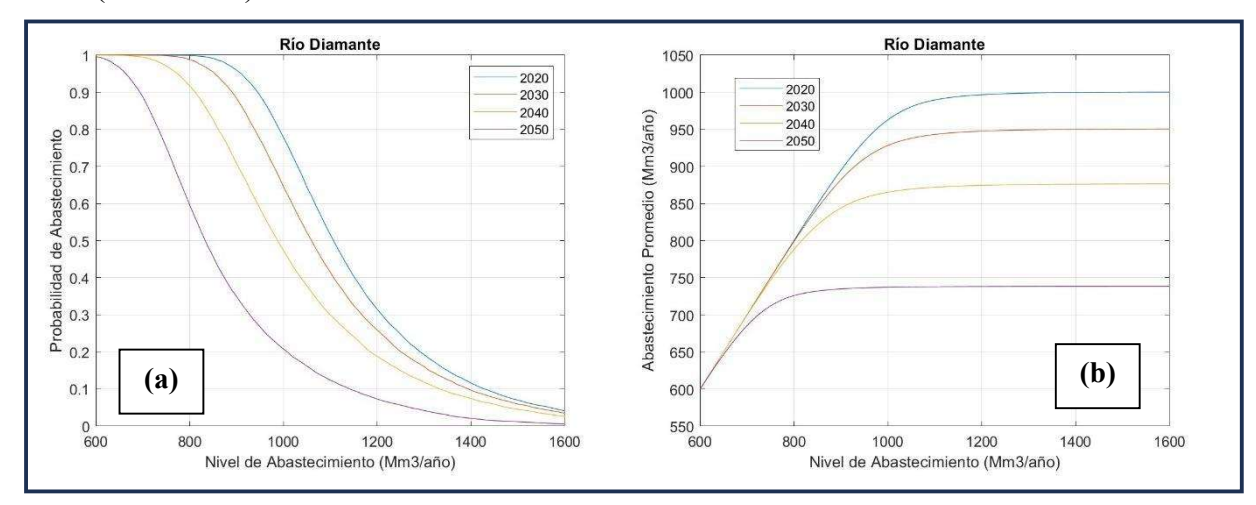


Figura 4-16: Río Diamante variación de, (a) Probabilidad de Abastecimiento y (b) Abastecimiento Promedio, para distintos Niveles de Abastecimiento y Capacidad de Almacenamiento Fija que duplica la existente (1100 Mm3) para 2020, 2030, 2040 y 2050.

⁴ el valor no representa el abastecimiento que fue realizado durante los últimos años, sino cual hubiera sido el nivel de abastecimiento constante sostenible.

4.3.5. RÍO MALARGÜE

Las primeras simulaciones se realizaron para la capacidad actual de almacenamiento, 0 Mm³, cambiando el nivel de abastecimiento entre 100 y 600 mm³ por año. Los resultados son presentados en la Figura 4-17.

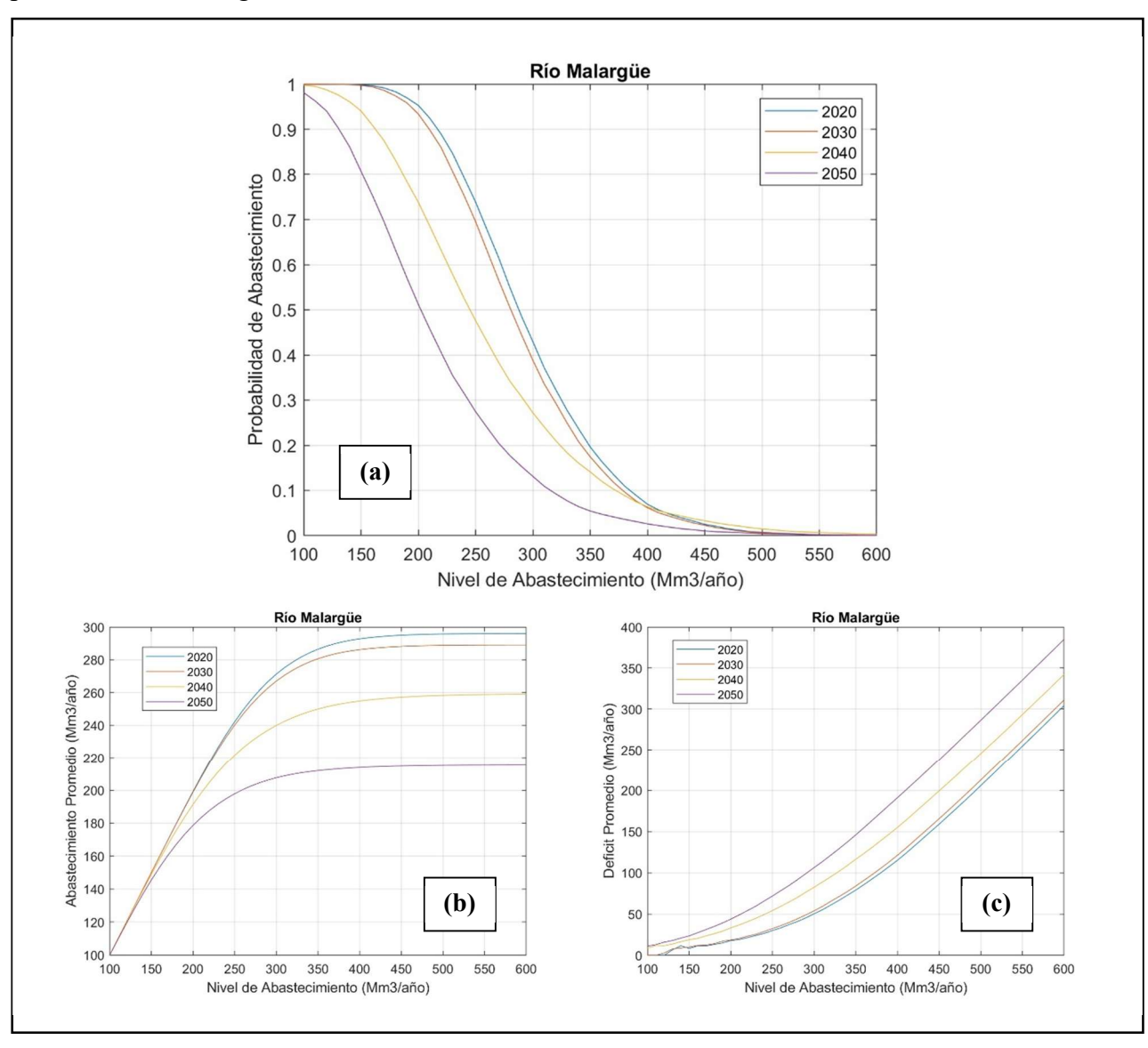


Figura 4-17: Río Malargüe variación de, (a) Probabilidad de Abastecimiento, (b) Abastecimiento Promedio y (c) Déficit Promedio, para distintos Niveles de Abastecimiento y Capacidad de Almacenamiento Fija (0 mm³) para 2020, 2030, 2040 y 2050.

La Tabla 4-10 muestra los valores obtenidos para dos niveles de confiabilidad, 90 y 80%, en cada década.

Tabla 4-11: Nivel de Abastecimiento, Abastecimiento Promedio y Déficit Promedio en la cuenca del Río Malargüe para Niveles de confiabilidad del 90 y 80% (2020, 2030, 2040 y 2050), 0 y 200 mm³.

| Capacidad de | Nivel de Confiabilidad | | 90 | % | | 80% | | | | |
|---------------------|-------------------------------|-------|------|------|------|------|------|------|------|--|
| Almacenamiento | Década | 20205 | 2030 | 2040 | 2050 | 2020 | 2030 | 2040 | 2050 | |
| | Nivel de Abastecimiento (Hm³) | 220 | 210 | 160 | 130 | 240 | 230 | 190 | 150 | |
| Sin almacenamiento | Abastecimiento Promedio (Hm³) | 218 | 208 | 158 | 128 | 234 | 225 | 184 | 145 | |
| | Déficit Promedio (Hm³) | 21 | 20 | 21 | 18 | 27 | 25 | 29 | 24 | |
| | Nivel de Abastecimiento (Hm³) | 290 | 280 | 240 | 200 | 300 | 290 | 260 | 210 | |
| 200 Mm ³ | Abastecimiento Promedio (Hm³) | 285 | 276 | 236 | 196 | 291 | 282 | 249 | 203 | |
| | Déficit Promedio (Hm³) | 37 | 36 | 39 | 35 | 42 | 41 | 49 | 41 | |

En una segunda etapa se realizaron simulaciones tomando una capacidad de almacenamiento de 200 mm³ (Figura 4-17). Incorporando almacenamiento, para una confiabilidad del 90%, se aumenta el nivel de abastecimiento en alrededor 70 Mm³ para todo el periodo de estudio (Tabla 4-11).

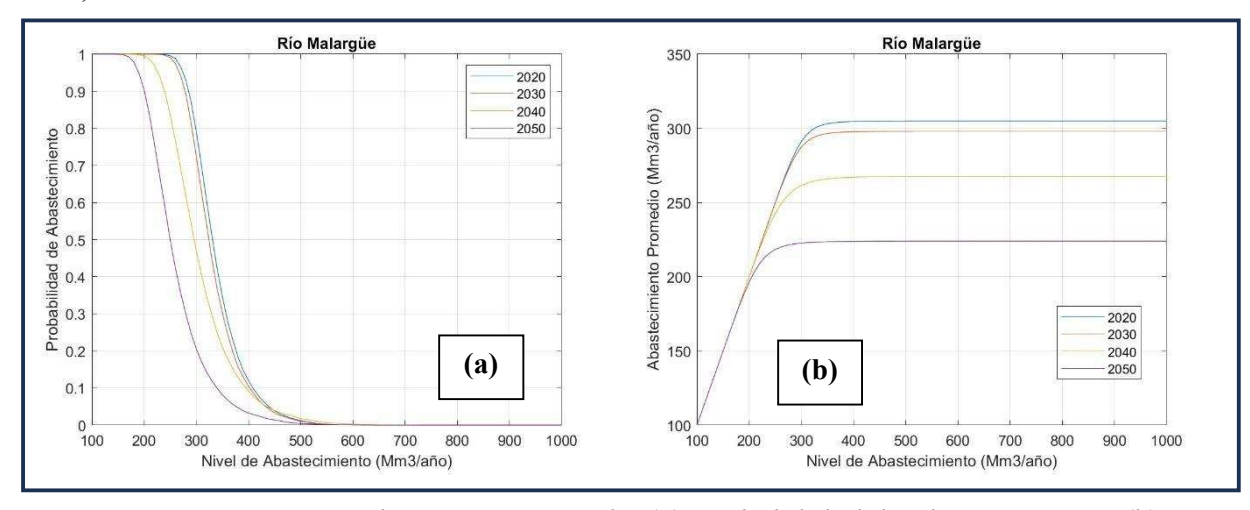


Figura 4-18: Río Malargüe variación de, (a) Probabilidad de Abastecimiento, (b) Abastecimiento Promedio y (c) Déficit Promedio, para distintos Niveles de Abastecimiento y Capacidad de Almacenamiento Fija (0 mm³) para 2020, 2030, 2040 y 2050.

_

⁵ El valor no representa el abastecimiento que fue realizado durante los últimos años, sino cual hubiera sido el nivel de abastecimiento constante sostenible.

5. RESUMEN DE LA DEMANDA (REPORTE N°3)

5.1. DEMANDA POBLACIONAL

La siguiente tabla presenta la demanda poblacional para la situación actual y la demanda proyectada para los años 2030, 3040 y 2050. La proyección supone que el consumo poblacional per cápita (352 lpcd) y el porcentaje de pérdidas dentro del sistema de abastecimiento se mantendrá como está en la situación actual.

Tabla 5-1: Demanda poblacional actual y proyectada (hm³).

| | Proyección de la demanda poblac | ional. Volum | ien en hm³/aí | ĭo. | |
|-----------------|---------------------------------|---------------|---------------|---------------|---------------|
| Cuenca | Década | 2022 (Hm³) | 2030 (Hm³) | 2040 (Hm³) | 2050 (Hm³) |
| | Población proyectada | 1.301.969 | 1.406.011 | 1.518.648 | 1.641.180 |
| Día Mandana | Demanda Neta | 167,3 | 180,6 | 195,1 | 210,9 |
| Río Mendoza | Pérdidas del sistema 46% | 144,9 | 156,5 | 169,1 | 182,7 |
| | Consumo Poblacional proyectado | 312,2 | 337,2 | 364,2 | 393,6 |
| | | | | | |
| | Población proyectada | 139.765 | 154.198 | 169.612 | 186.122 |
| Río Tunuyán | Demanda Neta | 18 | 19,8 | 21,8 | 23,9 |
| Superior | Pérdidas del sistema 40% | 12 | 13,3 | 14,6 | 16 |
| | Consumo Poblacional proyectado | 30 | 33,1 | 36,4 | 39,9 |
| | | | | | |
| | Población proyectada | 279.005 | 301.332 | 324.681 | 349.188 |
| Río Tunuyán | Demanda Neta | 35,8 | 38,7 | 41,7 | 44,9 |
| Inferior | Pérdidas del sistema 40% | 24,2 | 26,1 28,2 | | 30,3 |
| | Consumo Poblacional proyectado | 60 | 64,8 | 69,9 | 75,1 |
| | | | | | |
| | Población proyectada | 151.544 | 160.227 | 169.101 | 178.212 |
| Río Diamante | Demanda Neta | 19,5 | 20,6 | 20,6 21,7 | |
| Kio Diamante | Pérdidas del sistema 37% | 11,5 | 12,1 | 12,8 | 13,5 |
| | Consumo Poblacional proyectado | 31 | 32,7 | 34,5 | 36,4 |
| | | | | | |
| | Población proyectada | 109.143 | 114.497 | 119.935 | 125.485 |
| Río Atuel | Demanda Neta | 14 | 14,7 | 15,4 | 16,1 |
| Kio Atuei | Pérdidas del sistema 26% | 5 | 5,2 | 5,5 | 5,7 |
| | Consumo Poblacional proyectado | 19 | 19,9 | 20,9 | 21,8 |
| | | | | | |
| | Población proyectada | 33.107 | 36.182 | 39.430 | 42.873 |
| Río Malargüe | Demanda Neta | 6,3 | 6,8 | 7,4 | 8,1 |
| Kiu iviaiai gue | Pérdidas del sistema 26% | 2,2 | 2,4 | 2,6 | 2,9 |
| | Consumo Poblacional proyectado | 8,5 | 9,3 | 10,1 | 11 |
| | | | | | |
| | Población proyectada | 2.014.533 | 2.172.447 | 2.341.407 | 2.523.060 |
| Provincia | Demanda Neta | 260,9 | 281,2 | 303,1 | 326,8 |
| | Suministro | 460,7 | 497 | 536 | 577,8 |

5.2. DEMANDA AGRÍCOLA

La siguiente tabla presenta la demanda agrícola para la situación actual (según DGI por el modelo WEAP) y la demanda proyectada, asumiendo que el único efecto se debe al cambio ETo causado por el aumento de temperatura debido al cambio climático.

2020 2030 2040 2050 Década Demanda Demanda Demanda Demanda Demanda Demanda Demanda Demanda Rio Neta Bruta Neta Bruta Neta Bruta Neta Bruta (hm^3) (hm^3) (hm^3) (hm^3) (hm^3) (hm^3) (hm^3) (hm^3) 823,9 776,3 1.778,6 823,3 1.886,1 1.887,2 824,4 1.888,4 Mendoza Tunuyán 423,7 1.242,9 436,3 1.279,8 445,5 1.306,6 454,6 1.333,3 **Superior** 1.142,5 557,3 1.056,9 569,0 1.078,9 1.100,9 Tunuyán Inferior 544,0 580,6 379,3 1.230,0 1.321,5 412,8 418,0 1.355,1 Diamante 407,6 1.338,3 Atuel 407,8 972,4 422,0 1.006,1 430,5 1.026,4 439,0 1.046,6 Malargüe 64,8 144,0 67,5 150,1 68,4 152,0 69,2 153,8 Total 2.595,9 6.510,4 2.714,2 6.700,4 2.750,0 6.789,3 2.785,9 6.878,3

Tabla 5-2: Demanda agrícola proyectada (hm³).

5.3. OTRA DEMANDA POR TIPO

La otra demanda por tipo es toda la demanda industrial y turística, la demanda para la situación actual fue proporcionada por la DGI (Anexo Nº 8 del Informe Nº 3.2), la proyección se realizó de acuerdo con el siguiente supuesto:

> Actividad relacionada con la industria y la población

Tasa de crecimiento anual del agua decenal del 1% hasta el año 2040 y del 0,5% de 2040 a 2050.

> Actividad relacionada con infraestructura

Tasa de crecimiento anual del agua decenal del 0,5% hasta el año 2050.

La siguiente tabla resume la demanda proyectada por cuenca:

Tabla 5-3: Otro tipo demanda proyectada (hm³).

| Década / Cuenca | Tunuyán Inferior | Tunuyán Superior | Diamante | Malargüe | Mendoza | Atuel | Provinci a |
|-----------------|---------------------|---------------------|----------|----------|---------|---------|---------------|
| | hm³/Año | hm³/Año | hm³/Año | hm³/Año | hm³/Año | hm³/Año | hm³/Año |
| 2020 | 34,48 | 13,97 | 14,58 | 0,07 | 65,93 | 5,63 | 134,66 |
| 2030 | 38,07 | 15,41 | 16,08 | 0,07 | 72,42 | 6,11 | 148,16 |
| 2040 | 42,04 | 16,99 | 17,73 | 0,08 | 79,58 | 6,64 | 163,06 |
| 2050 | 46,42 | 18,74 | 19,55 | 0,09 | 87,46 | 7,22 | 179,48 |

5.4. DEMANDA AMBIENTAL EN CUENCA RIO MALARGÜE

En la cuenca del Rio Malargüe, existe un uso que considera la demanda ambiental de la laguna de Llancanelo. Está considerado mediante un empadronamiento de categoría Eventual de 2478.15 ha totales. Esta situación debe ser considerada a los fines de interpretar el valor de "exceso" o "superávit" de agua que el análisis del balance proyectado genera y los potenciales déficit a futuro.

5.5. RESUMEN DE LAS PROYECCIONES DE LA DEMANDA

Tabla 5-4: Resumen de las proyecciones de la demanda (hm³).

| Década | | 2030 | | | | 2040 2050 | | | | | | |
|---------------------|-----------------------|-----------------------|--------------|-------------|-----------------------|-----------------------|--------------|-------------|-----------------------|-----------------------|--------------|----------------|
| Rio | Poblaciona l (hm³) | Agricultur a (hm³) | Otra (hm³ | Total (hm³) | Poblaciona l (hm³) | Agricultur a (hm³) | Otra (hm³ | Total (hm³) | Poblaciona l (hm³) | Agricultur a (hm³) | Otra (hm³ | Total (hm³) |
| Mendoza | 337 | 1.886 | 72 | 2.295 | 364 | 1.887 | 80 | 2.331 | 394 | 1.888 | 87 | 2.369 |
| Tunuyán Superior | 33 | 1.280 | 15 | 1.328 | 36 | 1.307 | 17 | 1.360 | 40 | 1.333 | 19 | 1.392 |
| Tunuyán Inferior | 65 | 1.057 | 38 | 1.160 | 70 | 1.079 | 42 | 1.191 | 75 | 1.101 | 46 | 1.222 |
| Diamante | 33 | 1.322 | 16 | 1.370 | 35 | 1.338 | 18 | 1.391 | 36 | 1.355 | 20 | 1.411 |
| Atuel | 20 | 1.006 | 6 | 1.032 | 21 | 1.026 | 7 | 1.054 | 22 | 1.047 | 7 | 1.076 |
| Malargüe | 9 | 150 | 0 | 159 | 10 | 152 | 0 | 162 | 11 | 154 | 0 | 165 |
| Total | 497 | 6.700 | 148 | 7.345 | 536 | 6.789 | 163 | 7.488 | 578 | 6.878 | 179 | 7.636 |

6. PROYECCIÓN EL DÉFICIT ESPERADO EN CADA CUENCA

La oferta hídrica sostenible proyectada presentada en el Capítulo 4 y la demanda proyectada presentada en el Capítulo 5, son los componentes del balance hídrico de la provincia.

Se detecta que en algunas de las cuencas se produce el proceso de recirculación del agua, entendiendo mejor este proceso podemos evitar errores de cálculo que sobrestiman el déficit en el balance hídrico.

6.1. OFERTA RECIRCULADA

6.1.1. ASPECTOS GENERALES

El nivel de recirculación del agua es un factor fundamental en el análisis de la gestión del recurso hídrico, a nivel de cuenca. Se refiere al proceso mediante el cual el agua se utiliza en múltiples aplicaciones antes de su descarga final. Por ejemplo, en el sector agrícola, el agua utilizada para el riego puede ser reciclada o recirculada y utilizada nuevamente en otros usos, lo que reduce la cantidad de agua directa necesaria para la irrigación. Un ejemplo claro de este fenómeno es la infiltración y desagües en las zonas de regadío que, agua abajo, terminan emergiendo y generando nuevos cauces donde sus aguas son asignadas y utilizadas nuevamente. Del mismo modo, en la industria, el agua utilizada en un proceso puede ser tratada y reutilizada en otras etapas del mismo proceso o en procesos diferentes como ser el riego de un acre, lo que disminuye la demanda total de agua.

La consideración de la reutilización interna del agua tiene un impacto significativo en el análisis de déficit hídrico de una cuenca, ya que reduce el requerimiento de agua, en la medida que satisface parte de la demanda hídrica. Es importante distinguir entre la reutilización interna, que ocurre dentro de un sector de la cuenca, y la reutilización externa, que implica el uso de agua residual tratada de un sitio de demanda en otro sitio de demanda, considerada en el análisis como reusó de agua.

En resumen, la consideración de la recirculación de agua en los Balances Hídricos de cuenca es fundamental en la gestión integrada de los recursos hídricos. Su consideración permite proyectar de una mejor manera el balance interno del agua en la cuenca y los potenciales impactos que tendría un proceso de mejora o modernización del sistema.

En las cuencas donde se detecta este tipo de oferta hídrica es en el río Mendoza, Tunuyán Superior y río Diamante. En el caso del río Atuel, si bien están identificados los drenajes y posee un modelo de generación de caudales, al no tener usos reasignados de agua, no se consideran como demanda no contabilizada.

6.1.2. RÍO MENDOZA

Del Balance Hídrico del río Mendoza se extraen las zonas (del Modelo WEAP) o cauces de uso de aguas recirculadas o que se conforman por ellas, llamadas de vertientes o desagües, son las siguientes: Hijuela Unificada Nueva Sánchez y el Arroyo El Carrizal en margen derecha. Para el análisis de identifican, del modelo WEAP, las Zonas generadoras de aguas recirculadas, bajo el supuesto que el remante producto de la ineficiencia, tanto de conducción como de aplicación, contribuyen a la oferta de estas. Estas son: Cruz de Piedra, Arroyo Carrizal, Rodeo – Beltrán y Sánchez.

Tabla 6-1: Cálculo de la oferta de agua recirculada para la cuenca del río Mendoza (hm³).

| Escenario | Década | Demanda Neta (hm³/año) | Demanda Bruta (hm³/año) | Oferta recirculada (hm³/año) |
|------------|--------|------------------------------|-------------------------------|------------------------------------|
| | 2020 | 28,0 | 75,2 | 47,2 |
| Sin Cambio | 2030 | 29,5 | 79,4 | 49,9 |
| | 2040 | 29,5 | 79,4 | 49,9 |
| | 2050 | 29,5 | 79,4 | 49,9 |

En lo que respecta al agua de reúso, las que provienen del tratamiento de las aguas residuales urbanas, propiamente dicho de las plantas de Paramillo y Campo Espejo, el déficit hídrico que se genera es considerado en el déficit de agua total de la cuenca.

6.1.3. RÍO TUNUYÁN

Es en la cuenca del río Tunuyán Superior donde existe el mayor volumen de agua recirculada. El análisis considera la totalidad de las zonas de regadío en la cuenca, como sitios potenciales de generación de agua recirculada. Es por ello que el análisis considera la demanda neta y bruta total de la cuenca, tanto los usos agrícolas, poblacional y otros (usos industriales).

Cabe aclarar que, en los escenarios de mejora del sistema, el aumento en la eficiencia en el uso del agua, cambian las relaciones existentes en el balance hídrico actual, generando un impacto en las proporciones de agua recirculada y asignadas aguas abajo.

Tabla 6-2: Cálculo de la oferta de agua recirculada para la cuenca del río Tunuyán.

| Escenario | Década | Demanda Neta (hm³/año) | Demanda Bruta (hm³/año) | Oferta recirculada (hm³/año) |
|------------|--------|---------------------------|-------------------------------|------------------------------------|
| | 2020 | 455,7 | 1286,9 | 820,0 |
| Sin Cambio | 2030 | 471,5 | 1328,3 | 844,4 |
| | 2040 | 484,2 | 1359,9 | 862,1 |
| | 2050 | 497,2 | 1392,0 | 879,8 |

^{*} Considera la demanda industrial (otra) con un potencial de recirculación del 20%.

6.1.4. RÍO DIAMANTE

Es en la cuenca del río Diamante, existe una extensa zona en margen derecha y la parte sur de la cuenca que es la generadora de los volúmenes recirculados y parte de la misma se abastece directamente de ella. La zona corresponde a las siguientes zonas: Sauce de las Rosas, Grande, Sauce de la Leona, Cortaderal, Rama Caída Gonzales, Cubillos, Hijuela Salinas, Vila, Day Forte, Cejas del Monte, Hijuela Vicuña, Canal Retamito, Canal Resolana e Hijuela Española Cabe aclarar que estas zonas no reciben aguas de desagües, estas son las generadoras de las mismas, a través de la infiltración en los canales y la ineficiencia de riego.

Al igual que lo sucedido para el Tunuyán Superior, los escenarios de mejora del sistema donde se pretende un aumento en la eficiencia en el uso del agua cambian las relaciones existentes en el balance hídrico actual, generando un impacto en las proporciones de agua recirculada y asignadas aguas abajo, pudiendo afectar zonas de riego.

Tabla 6-3: Cálculo de la oferta de agua recirculada para la cuenca del río Diamante.

| Escenario | Década | Demanda Neta (hm³/año) | Demanda Bruta (hm³/año) | Oferta recirculada (hm³/año) |
|------------|--------|---------------------------|-------------------------------|------------------------------------|
| | 2020 | 109,8 | 376,9 | 267,2 |
| Sin Cambia | 2030 | 118,0 | 405,1 | 287,1 |
| Sin Cambio | 2040 | 119,5 | 410,3 | 290,8 |
| | 2050 | 121,0 | 415,5 | 294,5 |

6.2. DÉFICIT PROYECTADO, SITUACIÓN ACTUAL SIN MEJORA

El déficit proyectado en este informe está calculado según la oferta sostenible, no significa que fuera el déficit real de años anteriores ya que no necesariamente se proporcionó un volumen sostenible.

La demanda proyectada fue calculada en el Informe 3.2, y algunas correcciones se presentan en los capítulos 4.2 y 6 de este informe.

El sector de demanda más importante es la demanda agrícola.

La demanda agrícola se calculó de acuerdo con las eficiencias supuestas de conducción y aplicación en las diferentes cuencas de la provincia, y sin variar las hectáreas cultivadas supuestas.

El déficit se presenta para niveles de confiabilidad del 80% y 90%.

Tabla 6-4: Cálculo del Déficit - Río Mendoza (hm³).

| | Nivel de Confiabilidad (%) | | 90% | | | | 80% | | | |
|---------|--|--------------|--------------|--------------|--------------|--|--------------|--------------|--------------|--------------|
| | Década | 2020 | 2030 | 2040 | 2050 | | 2020 | 2030 | 2040 | 2050 |
| | Nivel de Abastecimiento (Hm³) | 1.270 | 1.180 | 1.150 | 1.070 | | 1.370 | 1.270 | 1.230 | 1.130 |
| | *Oferta de Agua Tratada (ACRE) (Hm³) | 102 (106) | 102 (119) | 102 (129) | 102 (139) | | 102 (106) | 102 (119) | 102 (129) | 102 (139) |
| Mendoza | Oferta recirculada (Hm³) | 47 | 50 | 50 | 50 | | 47 | 50 | 50 | 50 |
| | Volumen Sostenible de Agua Subterránea (según informe 2.2) (Hm³) | 317 | 317 | 316 | 316 | | 317 | 317 | 316 | 316 |
| | Demanda Proyectada (Hm³) | 2.157 | 2.296 | 2.331 | 2.369 | | 2.157 | 2.296 | 2.331 | 2.369 |
| | Deficit Promedio (Hm³) | -420 | -647 | -713 | -832 | | -320 | -557 | -633 | -772 |

^{*102 (106) -} Capacidad máxima del volumen de tratamiento real (Volumen potencial de agua tratada

Tabla 6-5: Cálculo del Déficit - Río Tunuyán (hm³).

| | Nivel de Confiabilidad (%) | | 90% | | | | 80% | | | |
|---------|---|-------|-------|-------|-------|-------|-------|-------|-------|--|
| | Década | 2020 | 2030 | 2040 | 2050 | 2020 | 2030 | 2040 | 2050 | |
| | Nivel de Abastecimiento (Hm³) | 1.520 | 1.490 | 1.490 | 1.450 | 1.590 | 1.550 | 1.550 | 1.510 | |
| Tunuyan | Oferta recirculada (Hm³) | 820 | 844 | 862 | 880 | 820 | 844 | 862 | 880 | |
| | Volumen Sostenible de Agua Subterránea (según informe 2.2) (Hm³) | 128 | 128 | 138 | 142 | 128 | 128 | 138 | 142 | |
| | Demanda Proyectada (Hm³) | 2.524 | 2.602 | 2.667 | 2.733 | 2.524 | 2.602 | 2.667 | 2.733 | |
| | Deficit Promedio (Hm³) | -56 | -139 | -177 | -262 | 14 | -79 | -117 | -202 | |

Tabla 6-6: Cálculo del Déficit - Río Diamante (hm³).

| | Nivel de Confiabilidad (%) | | 90% | | | 80% | | | |
|-----------------|---|-------|-------|-------|-------|-------|-------|-------|-------|
| | Década | 2020 | 2030 | 2040 | 2050 | 2020 | 2030 | 2040 | 2050 |
| | Nivel de Abastecimiento (Hm³) | 890 | 830 | 750 | 650 | 940 | 890 | 810 | 690 |
| Diamante | Oferta recirculada (Hm³) | 267 | 287 | 291 | 295 | 267 | 287 | 291 | 295 |
| | Volumen Sostenible de Agua Subterránea (según informe 2.2) (Hm³) | 19 | 19 | 15 | 14 | 19 | 19 | 15 | 14 |
| | Demanda Proyectada (Hm³) | 1.276 | 1.370 | 1.391 | 1.411 | 1.276 | 1.370 | 1.391 | 1.411 |
| | Déficit Promedio (Hm³) | -100 | -235 | -335 | -453 | -50 | -175 | -275 | -413 |

⁼ Demanda neta potable * 66%)

Tabla 6-7: Cálculo del Déficit - Río Atuel (hm³).

| | Nivel de Confiabilidad (%) |
|-------|---|
| | Década |
| Atuel | Nivel de Abastecimiento (Hm³) |
| | Volumen Sostenible de Agua Subterránea (según informe 2.2) (Hm³) |
| | Demanda Proyectada (Hm³) |
| | Déficit Promedio (Hm³) |

| | 90% | | | | | |
|------|-------|-------|-------|--|--|--|
| 2020 | 2030 | 2040 | 2050 | | | |
| 750 | 770 | 660 | 635 | | | |
| 51 | 51 | 49 | 49 | | | |
| 997 | 1.032 | 1.054 | 1.076 | | | |
| -196 | -211 | -354 | -392 | | | |

| | 80% | | | | | |
|------|-------|-------|-------|--|--|--|
| 2020 | 2030 | 2040 | 2050 | | | |
| 820 | 815 | 705 | 675 | | | |
| 51 | 51 | 49 | 49 | | | |
| 997 | 1.032 | 1.054 | 1.076 | | | |
| -126 | -166 | -300 | -352 | | | |

Tabla 6-8: Cálculo del Déficit - Río Malargüe (hm³).

| | Nivel de Confiabilidad (%) | |
|----------|-------------------------------|--|
| Malargüe | Década | |
| | Nivel de Abastecimiento (Hm³) | |
| | Demanda Proyectada (Hm³) | |
| | Deficit Promedio (Hm³) | |

| 90% | | | | |
|------|------|------|------|--|
| 2020 | 2030 | 2040 | 2050 | |
| 220 | 210 | 160 | 130 | |
| 153 | 159 | 162 | 165 | |
| 67 | 51 | -2 | -35 | |

| 80% | | | | | |
|------|------|------|------|--|--|
| 2020 | 2030 | 2040 | 2050 | | |
| 240 | 230 | 190 | 150 | | |
| 153 | 159 | 162 | 165 | | |
| 87 | 71 | 28 | -15 | | |

De las tablas anteriores, el déficit actual (2020), cuando se refiere a ofertas sostenibles y un nivel de confiabilidad del 80%, en la cuenca del río Mendoza ronda los 300 hm³.

En Diamante existe un déficit algo moderado, de 50 hm³.

Tunuyán, Atuel y Malargüe se encuentran en condiciones de superávit para la demanda actual. Sin acciones para reducir el Déficit, éste crecerá y en 2050 para todas las cuencas será imposible abastecer de manera sostenible la demanda proyectada.

7. POTENCIAL DE REDUCCIÓN DE LA DEMANDA DE AGUA

El potencial existente para reducir la demanda y el déficit (sin cambiar el tipo de cultivo existente) es mejorar la eficiencia de conducción y aplicación.

En este capítulo presentaremos el rango de potencial de reducción de la demanda aumentando la eficiencia de conducción y aplicación de manera separada y en conjunto. Es importante mencionar que estos son valores teóricos que dependen de muchos aspectos, tales como:

- La capacidad de realizar las inversiones requeridas (privadas, públicas).
- El tamaño mínimo de la propiedad que permite la mejora (riego tradicional a goteo).
- Análisis económico para determinar el cultivo óptimo a mejorar.

De acuerdo con el déficit proyectado, el Informe Nº 5 definirá la alternativa óptima para eliminar ese déficit hídrico, considerando la capacidad de implementación de dicha alternativa.

7.1. EFICIENCIA DE APLICACIÓN

La eficiencia de aplicación depende de los métodos de riego dentro de la finca, al considerar que para el método de riego más primitivo que es el riego por inundación, la eficiencia oscila entre el 40% y el 50%, y la eficiencia máxima del 85% para el riego por goteo.

La siguiente tabla presenta las eficiencias promedio de aplicación en las cuencas.

| · · | |
|------------------|-------------------------|
| Cuenca | Eficiencia promedio (%) |
| Mendoza | 54,5% |
| Tunuyán Superior | 43,0% |
| Tunuyán Inferior | 53,5% |
| Diamante | 49,0% |
| Atuel | 50,0% |
| Malargüe | 55.0% |

Tabla 7-1: Eficiencias promedio de Aplicación.

La siguiente tabla presenta la demanda neta y bruta en 2050, cuando se supone que la eficiencia de la aplicación es del 85%.

Tabla 7-2: Mejora de la eficiencia de la Aplicación.

| Cuenca | Mendoza | Tunuyán Superior | Tunuyán Inferior | Diamant e | Atuel | Malargü e |
|----------------------------------|---------|---------------------|---------------------|--------------|--------|--------------|
| Total Ha. | 91.824 | 64.507 | 77.135 | 45.280 | 53.620 | 7.839 |
| Demanda Neta (Hm³) | 824 | 455 | 581 | 418 | 439 | 69 |
| Eficiencia promedio (%) | 54,5% | 43,0% | 53,5% | 49,0% | 50,0% | 55,0% |
| Demanda Bruta (Hm³) | 1.888 | 1.333 | 1.219 | 1.355 | 1.047 | 154 |
| Eficiencia promedio mejorada (%) | 85,0% | 85,0% | 85,0% | 85,0% | 85,0% | 85,0% |
| Demanda Bruta mejorada (Hm³) | 1.143 | 675 | 767 | 781 | 613 | 100 |
| Delta Demanda - ahorro (Hm³) | 746 | 659 | 452 | 574 | 433 | 54 |

7.2. EFICIENCIA DE CONDUCCIÓN

La eficiencia de la conducción depende del estado del sistema de conducción, considerando un 100% de eficiencia para tubería, un 97% para canales impermeables y un amplio rango de eficiencias para canal de tierra que varía entre el 40% y el 90%.

La siguiente tabla presenta la eficiencia promedio de Conducción en cada cuenca según el modelo WEAP.

Tabla 7-3: Eficiencias promedio de Conducción.

| Cuenca | Eficiencia promedio (%) |
|------------------|-------------------------|
| Mendoza | 90,5% |
| Tunuyán Superior | 89,0% |
| Tunuyán Inferior | 91,0% |
| Diamante | 67,5% |
| Atuel | 84,5% |
| Malargüe | 81,5% |

La siguiente tabla presenta la demanda neta y bruta en 2050, cuando se supone que la eficiencia de la conducción es del 95% - lo que significa que todos los canales son impermeables.

Tabla 7-4: Mejora de la eficiencia de la Conducción.

| Cuenca | Mendoza | Tunuyán Superior | Tunuyán Inferior | Diamante | Atuel | Malargüe |
|----------------------------------|---------|---------------------|---------------------|----------|--------|----------|
| Total Ha. | 91.824 | 64.507 | 77.135 | 45.280 | 53.620 | 7.839 |
| Demanda Neta (Hm³) | 824 | 455 | 581 | 418 | 439 | 69 |
| Eficiencia promedio (%) | 90,5% | 89,0% | 91,0% | 67,5% | 84,5% | 81,5% |
| Demanda Bruta (Hm³) | 1.888 | 1.333 | 1.219 | 1.355 | 1.047 | 154 |
| Eficiencia promedio mejorada (%) | 97,0% | 97,0% | 96,0% | 95,0% | 95,0% | 95,0% |
| Demanda Bruta mejorada (Hm³) | 1.677 | 1.094 | 1.131 | 898 | 928 | 132 |
| Delta Demanda - ahorro (Hm³) | 211 | 240 | 88 | 457 | 119 | 21 |

7.3. EFICIENCIA DE CONDUCCIÓN + EFICIENCIA DE APLICACIÓN (MEZCLA)

La siguiente tabla presenta la demanda bruta en 2050 al mejorar la eficiencia de la aplicación al 85% y la eficiencia de la conducción al 95%.

Tabla 7-5: Mejora de la eficiencia de la Conducción y Aplicación.

| Cuenca | Mendoza | Tunuyán Superior | Tunuyán Inferior | Diamante | Atuel | Malargüe |
|---|---------|---------------------|---------------------|----------|--------|----------|
| Total Ha. | 91.824 | 64.507 | 77.135 | 45.280 | 53.620 | 7.839 |
| Demanda Neta (Hm³) | 824 | 455 | 581 | 418 | 439 | 69 |
| Eficiencia promedio (%) | 54,5% | 43,0% | 53,5% | 49,0% | 50,0% | 55,0% |
| Eficiencia promedio de la aplicación (%) | 90,5% | 89,0% | 91,0% | 67,5% | 84,5% | 81,5% |
| Demanda Bruta (Hm³) | 1.888 | 1.333 | 1.219 | 1.355 | 1.047 | 154 |
| Eficiencia promedio de la aplicación mejorada (%) | 85,0% | 85,0% | 85,0% | 85,0% | 85,0% | 85,0% |
| Eficiencia promedio de la conducción mejorada (%) | 97,0% | 97,0% | 96,0% | 95,0% | 95,0% | 95,0% |
| Demanda Bruta mejorada (Hm³) | 1.013 | 553 | 712 | 518 | 613 | 86 |
| Delta Demanda - ahorro (Hm³) | 875 | 780 | 507 | 837 | 433 | 68 |

La siguiente tabla presenta un resumen del potencial de reducción de la demanda de agua.

Tabla 7-6: Resumen del potencial de reducción de la demanda de agua.

| Cuenca | Mendoza | Tunuyán Superior | Tunuyán Inferior | Diamante | Atuel | Malargüe |
|--|---------|---------------------|---------------------|----------|--------|----------|
| Total Ha. | 91.824 | 64.507 | 77.135 | 45.280 | 53.620 | 7.839 |
| Demanda Neta (Hm³) | 824 | 455 | 581 | 418 | 439 | 69 |
| Demanda Bruta (Hm³) | 1.888 | 1.333 | 1.219 | 1.355 | 1.047 | 154 |
| Demanda Bruta aplicación mejorada (Hm³) | 1.143 | 675 | 767 | 781 | 613 | 100 |
| Demanda Bruta conducción mejorada (Hm³) | 1.677 | 1.094 | 1.131 | 898 | 928 | 132 |
| Demanda Bruta conducción y aplicación mejorada (Hm³) | 1.013 | 553 | 712 | 518 | 613 | 86 |

La máxima reducción de la demanda se logra mejorando las eficiencias tanto de conducción como de aplicación, permitiendo la reducción de la demanda en un promedio del 49% en todas las cuencas.

8. BALANCES HÍDRICOS PROSPECTIVOS

Los balances hídricos prospectivos presentados en este informe definen por un lado la situación real proyectada para los próximos 30 años (2050), la situación real se refiere a la superficie cultivada (según el Balance Hídrico del DGI).

Por otro lado, la superficie cultivada total no es la totalidad de la superficie con derecho de riego. Es por ello que se evalúa el escenario donde se requiere abastecer la totalidad de la superficie con derecho.

El tercer balance presentará una situación promedio entre los balances hídricos anteriormente descritos.

La demanda poblacional e industrial se consideran iguales en todos los escenarios.

8.1. ESCENARIO NÚMERO 1 – SITUACIÓN ACTUAL

El escenario de situación actual considera los supuestos del Balance Hídrico respecto a la superficie cultivadas por cultivo, la conducción y eficiencia de aplicación (este escenario ya fue presentado en el capítulo 7 - "POTENCIAL DE REDUCCIÓN DE LA DEMANDA DE AGUA".

8.1.1. RÍO MENDOZA

La siguiente tabla presenta el total de hectáreas (cultivadas y no cultivadas) en Río Mendoza por fuente.

Ha. No HA. Cultivadas **Fuente** Total Ha. Cultivadas Dotada en Dique Cipolletti (Superficial) 80.747 16.404 64.343 Dotada en Alta Montaña 5.100 3.604 1.496 17.829 5.378 12.451 **Dotada por otras fuentes** 11.900 Agua Subterránea exclusiva MD 1.204 10.696 6.696 3.858 2.838 Agua Subterránea exclusiva MI 122,272 30.448 91.824 Total, Cuenca

Tabla 8-1: Hectáreas por fuente, Río Mendoza.

El balance hídrico compara la demanda total con la oferta total sostenible e indica el déficit resultante, es importante mencionar que este déficit no es el déficit real (en 2020 por ejemplo) porque los volúmenes realmente suministrados no necesariamente fueron sostenibles, la tabla presenta el déficit proyectado para 2030, 2040 y 2050.

Tabla 8-2: Balance Hídrico, Río Mendoza - Ha Cultivadas.

| Fuente | Agrícol a Neta (Hm³) | Agrícol a Bruta (Hm³) | Poblaciona l+ Industrial Bruta (Hm³) | Demand a Bruta Total (Hm³) | Oferta recirculad a (Hm³) | Oferta de aguas subterránea s (Hm³) | Oferta Sostenibl e (Hm³) | Deficit (Hm³) |
|---|----------------------------|-----------------------------|--|-------------------------------------|---------------------------------|--|--------------------------------|------------------|
| Dotada en Dique Cipolletti (Superficial) | 551 | 1.292 | | | | | | |
| Dotada en Alta Montaña | 18 | 34 | | | | | | |
| Dotada por otras fuentes | 110 | 286 | | | | | | |
| Agua Subterránea exclusiva MD | 76 | 128 | | | | | | |
| Agua Subterránea exclusiva MI | 23 | 39 | | | | | | |
| Total 2020 | 776 | 1.779 | 378 | 2.157 | 149 | 317 | 1.370 | -320 |
| Dotada en Dique Cipolletti (Superficial) | 584 | 1.371 | | | | | | |
| Dotada en Alta Montaña | 19 | 36 | | | | | | |
| Dotada por otras fuentes | 116 | 302 | | | | | | |
| Agua Subterránea exclusiva MD | 80 | 136 | | | | | | |
| Agua Subterránea exclusiva MI | 24 | 41 | | | | | | |
| Total 2030 | 823 | 1.886 | 410 | 2.296 | 152 | 317 | 1.270 | -557 |
| Dotada en Dique Cipolletti (Superficial) | 585 | 1.372 | | | | | | |
| Dotada en Alta Montaña | 19 | 36 | | | | | | |
| Dotada por otras fuentes | 116 | 302 | | | | | | |
| Agua Subterránea exclusiva MD | 80 | 136 | | | | | | |
| Agua Subterránea exclusiva MI | 24 | 41 | | | | | | |
| Total 2040 | 824 | 1.887 | 444 | 2.331 | 152 | 316 | 1.230 | -633 |
| Dotada en Dique Cipolletti (Superficial) | 585 | 1.372 | | | | | | |
| Dotada en Alta Montaña | 19 | 36 | | | | | | |
| Dotada por otras fuentes | 116 | 303 | | | | | | |
| Agua Subterránea exclusiva MD | 80 | 136 | | | | | | |
| Agua Subterránea exclusiva MI | 24 | 41 | | | | | | |
| Total 2050 | 824 | 1.888 | 481 | 2.369 | 152 | 316 | 1.130 | -772 |

8.1.2. Río Tunuyán

El balance hídrico de Tunuyán está compuesto por Tunuyán Superior y Tunuyán Inferior, en la siguiente tabla se presenta el total de Ha. para ambas cuencas.

Tabla 8-3: Hectáreas por fuente, Río Tunuyán.

| Fuente | Total Ha. | Ha. No Cultivadas | HA. Cultivadas |
|-------------------------------------|--------------|----------------------|-------------------|
| Dique Valle de Uco | 18.275 | 3.003 | 15.272 |
| Manantiales | 8.271 | 1.055 | 7.216 |
| A° Cordillera Frontal | 25.533 | 3.480 | 22.053 |
| Agua subterránea | 33.921 | 13.955 | 19.966 |
| Total, Tunuyán Superior | 85.999 | 21.492 | 64.507 |
| Agua Subterránea exclusiva | 26.016 | 9.311 | 16.705 |
| Dotada en dique Tiburcio Benegas | 86.094 | 25.663 | 60.431 |
| Total, Tunuyán Inferior | 112.110 | 34.974 | 77.135 |
| Total, Tunuyán | 198.109 | 56.466 | 141.643 |

Tabla 8-4: Balance Hídrico, Río Tunuyán - Ha Cultivadas.

| Tunuyán 2020 - Fuente | Agrícol a Neta (Hm³) | Agrícol a Bruta (Hm³) | Poblaciona l+ Industrial Bruta (Hm³) | Demanda Bruta Total (Hm³) | Oferta recirculad a (Hm³) | Oferta de aguas subterráneas (Hm³) | Oferta Sostenible (Hm³) | Défici t (Hm³) |
|--------------------------|----------------------------|-----------------------------|--|------------------------------------|---------------------------------|---|-------------------------------|----------------------|
| Tunuyán Inferior | 544 | 1.142 | 94 | 1.237 | | | | |
| Tunuyán Superior | 424 | 1.243 | 44 | 1.287 | | | | |
| Total 2020 | 968 | 2.385 | 138 | 2.524 | 820 | 128 | 1.590 | 14 |
| Tunuyán Inferior | 557 | 1.171 | 103 | 1.273 | | | | |
| Tunuyán Superior | 436 | 1.280 | 49 | 1.328 | | | | |
| Total 2030 | 994 | 2.450 | 151 | 2.602 | 844 | 128 | 1.550 | -79 |
| Tunuyán Inferior | 569 | 1.195 | 112 | 1.307 | | | | |
| Tunuyán Superior | 445 | 1.307 | 53 | 1.360 | | | | |
| Total 2040 | 1.014 | 2.501 | 165 | 2.667 | 862 | 138 | 1.550 | -117 |
| Tunuyán Inferior | 581 | 1.219 | 122 | 1.341 | | | | |
| Tunuyán Superior | 455 | 1.333 | 59 | 1.392 | | | | |
| Total 2050 | 1.035 | 2.553 | 180 | 2.733 | 880 | 142 | 1.510 | -202 |

8.1.3. RÍO DIAMANTE

La siguiente tabla presenta el total de hectáreas (cultivadas y no cultivadas) en Río Diamante por fuente.

Tabla 8-5: Hectáreas por fuente, Río Diamante.

| Fuente | Total Ha. | Ha. No Cultivadas | HA. Cultivadas |
|--------------------------------|--------------|----------------------|-------------------|
| Dotada en dique Galileo Vitali | 66.537 | 24.750 | 41.786 |
| Dotada por desagües y drenajes | 6.301 | 3.144 | 3.158 |
| Agua Subterránea exclusiva | 755 | 419 | 336 |
| Total, Cuenca | 73.593 | 28.313 | 45.280 |

Tabla 8-6: Balance Hídrico, Río Diamante - Ha Cultivadas.

| Fuente | Agrícol a Neta (Hm³) | Agrícol a Bruta (Hm³) | Poblaciona 1+ Industrial Bruta (Hm³) | Demand a Bruta Total (Hm³) | Oferta recirculad a (Hm³) | Oferta de aguas subterránea s (Hm³) | Oferta Sostenibl e (Hm³) | Déficit (Hm³) |
|-----------------------------------|----------------------------|-----------------------------|--|-------------------------------------|---------------------------------|--|--------------------------------|------------------|
| Dotada en dique Galileo Vitali | 351 | 1.143 | | | | | | |
| Dotada por desagües y drenajes | 26 | 80 | | | | | | |
| Agua Subterránea exclusiva | 3 | 7 | | | | | | |
| Total 2020 | 379 | 1.230 | 46 | 1.276 | 267 | 19 | 940 | -50 |
| Dotada en dique Galileo Vitali | 377 | 1.228 | | | | | | |
| Dotada por desagües y drenajes | 28 | 86 | | | | | | |
| Agua Subterránea exclusiva | 3 | 8 | | | | | | |
| Total 2030 | 408 | 1.322 | 49 | 1.370 | 287 | 19 | 890 | -175 |
| Dotada en dique Galileo Vitali | 382 | 1.243 | | | | | | |
| Dotada por desagües y drenajes | 28 | 87 | | | | | | |
| Agua Subterránea exclusiva | 3 | 8 | | | | | | |
| Total 2040 | 413 | 1.338 | 52 | 1.391 | 291 | 15 | 810 | -275 |
| Dotada en dique Galileo Vitali | 386 | 1.259 | | | | | | |
| Dotada por desagües y drenajes | 28 | 88 | | | | | | |
| Agua Subterránea exclusiva | 3 | 8 | | | | | | |
| Total 2050 | 418 | 1.355 | 56 | 1.411 | 295 | 14 | 690 | -413 |

8.1.4. RÍO ATUEL

La siguiente tabla presenta el total de hectáreas (cultivadas y no cultivadas) en Río Atuel por fuente.

Tabla 8-7: Hectáreas por fuente, Río Atuel.

| Fuente | Total Ha. | Ha. No Cultivadas | HA. Cultivadas |
|------------------------------|--------------|----------------------|-------------------|
| Dotada en dique Valle Grande | 83.369 | 31.521 | 51.848 |
| El Sosneado y La Junta | 2.293 | 521 | 1772 |
| Total, Cuenca | 85.662 | 32.042 | 53.620 |

Tabla 8-8: Balance Hídrico, Río Atuel - Ha Cultivadas.

| Fuente | Agrícol a Neta (Hm³) | Agrícol a Bruta (Hm³) | Poblaciona l+ Industrial Bruta (Hm³) | Demand a Bruta Total (Hm³) | Oferta recirculad a (Hm³) | Oferta de aguas subterránea s (Hm³) | Oferta Sostenibl e (Hm³) | Déficit (Hm³) |
|---------------------------------|----------------------------|-----------------------------|--|-------------------------------------|---------------------------------|--|--------------------------------|------------------|
| Dotada en dique Valle Grande | 396,41 | 945,72 | | | | | | |
| El Sosneado y La Junta | 11,42 | 26,65 | | | | | | |
| Total 2020 | 407,82 | 972,38 | 25 | 997 | 0 | 51 | 820 | -126 |
| Dotada en dique Valle Grande | 410,16 | 978,50 | | | | | | |
| El Sosneado y La Junta | 11,82 | 27,60 | | | | | | |
| Total 2030 | 421,98 | 1.006,10 | 26 | 1.032 | 0 | 51 | 815 | -166 |
| Dotada en dique Valle Grande | 418,42 | 998,19 | | | | | | |
| El Sosneado y La Junta | 12,06 | 28,17 | | | | | | |
| Total 2040 | 430,48 | 1.026,36 | 28 | 1.054 | 0 | 49 | 705 | -300 |
| Dotada en dique Valle Grande | 426,68 | 1.017,89 | | | | | | |
| El Sosneado y La Junta | 12,31 | 28,74 | | | | | | |
| Total 2050 | 438,98 | 1.046,63 | 29 | 1.076 | 0 | 49 | 675 | -352 |

8.1.5. RÍO MALARGÜE

La siguiente tabla presenta el total de hectáreas (cultivadas y no cultivadas) en Río Malargüe por fuente.

Tabla 8-9: Hectáreas por fuente, Río Malargüe.

| Fuente | Total Ha. | Ha. No Cultivadas | HA. Cultivadas |
|------------------------|--------------|----------------------|-------------------|
| Cañada Colorada | 2.997 | 0 | 2.997 |
| El Alamito y El Chacay | 4.842 | 0 | 4.842 |
| Total, Cuenca | 7.839 | 0 | 7.839 |

Tabla 8-10: Balance Hídrico, Río Malargüe - Ha Cultivadas.

| Fuente | Agrícola Neta (Hm³) | Agrícola Bruta (Hm³) | Poblacional + Industrial Bruta (Hm³) | Demanda Bruta Total (Hm³) | Oferta recirculada (Hm³) | Oferta Sostenible (Hm³) | Déficit (Hm³) |
|------------------------|---------------------------|-------------------------|--|------------------------------------|--------------------------------|-------------------------------|------------------|
| Cañada Colorada | 28,18 | 65,69 | | | | | |
| El Alamito y El Chacay | 36,63 | 78,35 | | | | | |
| Total 2020 | 64,81 | 144,04 | 9 | 153 | 0 | 240 | 87 |
| Cañada Colorada | 29,36 | 68,45 | | | | | |
| El Alamito y El Chacay | 38,18 | 81,68 | | | | | |
| Total 2030 | 67,55 | 150,12 | 9 | 159 | 0 | 230 | 71 |
| Cañada Colorada | 29,72 | 69,28 | | | | | |
| El Alamito y El Chacay | 38,66 | 82,69 | | | | | |
| Total 2040 | 68,38 | 151,97 | 10 | 162 | 0 | 190 | 28 |
| Cañada Colorada | 30,08 | 70,11 | | | | | |
| El Alamito y El Chacay | 39,14 | 83,71 | | | | | |
| Total 2050 | 69,21 | 153,83 | 11 | 165 | 0 | 150 | -15 |

8.2. ESCENARIO NÚMERO 2 – TOTAL DERECHOS

Este escenario se diferencia del anterior en que considera la totalidad de la superficie, con derecho de riego cultivada, lo que supone una mayor demanda. Las demandas poblacionales e industriales se mantienen iguales que en el escenario anterior.

Los resultados de este escenario se presentan mediante una tabla resume los resultados (Demanda Neta y Bruta, y Déficit Calculado).

En todas las cuencas las hectáreas no cultivadas con derecho de riego se distribuyeron según la relación de cada cultivo sobre el total en cada UAM, excluyendo Malargüe que no lo tiene (según el modelo WEAP).

Las siguientes tablas presentan el total de hectáreas considerando este escenario (Tabla 8-11), y el balance hídrico a nivel de cuenca para 2020 (actual), 2030, 2040 y 2050 (Tabla 8-12).

Tabla 8-11: Escenario 2 – Ha. Cultivadas.

| Escenario | Escena | Escenario 2 | | |
|------------------|-------------------|----------------|----------------|--|
| Cuenca | Ha. No Cultivadas | HA. Cultivadas | HA. Cultivadas | |
| Mendoza | 30.448 | 91.824 | 122.272 | |
| Tunuyán Superior | 21.492 | 64.507 | 85.999 | |
| Tunuyán Inferior | 34.974 77.135 | | 112.110 | |
| Tunuyán | 56.466 141.643 | | 198.109 | |
| Diamante | 28.313 | 45.280 | 73.593 | |
| Atuel | 32.042 | 53.620 | 85.662 | |
| Malargüe | 0 | 7.839 | 7.839 | |

Tabla 8-12: Escenario 2 – Balance Hídrico.

| | | Agrícola | Agrícola | Poblacional | Demanda | Oferta | Oferta de | Oferta | |
|------|---------------------|---------------|----------------|-----------------------------|-------------------------|----------------------|--------------------------------|------------------|------------------|
| | Cuenca | Neta (Hm³) | Bruta (Hm³) | + Industrial Bruta (Hm³) | Bruta Total (Hm³) | recirculada (Hm³) | aguas subterráneas (Hm³) | Sostenible (Hm³) | Déficit (Hm³) |
| | Mendoza | 1.039 | 2.363 | 378 | 2.741 | 169 | 317 | 1.370 | -885 |
| | Tunuyán Superior | 565 | 1.606 | 44 | 1.650 | | | | |
| 2020 | Tunuyán Inferior | 791 | 1.660 | 94 | 1.755 | | | | |
| | Tunuyán | 1.356 | 3.266 | 138 | 3.405 | 1.042 | 128 | 1.590 | -645 |
| | Diamante | 614 | 1.944 | 46 | 1.990 | 339 | 19 | 940 | -692 |
| | Atuel | 638 | 1.540 | 25 | 1.565 | 0 | 51 | 820 | -694 |
| | Malargüe | 65 | 144 | 9 | 153 | 0 | | 240 | 87 |
| | | | | | | | | | |
| | Mendoza | 1.101 | 2.505 | 410 | 2.915 | 173 | 317 | 1.270 | -1.155 |
| | Tunuyán Superior | 582 | 1.654 | 49 | 1.702 | | | | |
| 2030 | Tunuyán Inferior | 810 | 1.701 | 103 | 1.804 | | | | |
| | Tunuyán | 1.393 | 3.355 | 151 | 3.506 | 1.073 | 128 | 1.550 | -755 |
| | Diamante | 660 | 2.089 | 49 | 2.138 | 365 | 19 | 890 | -865 |
| | Atuel | 660 | 1.594 | 26 | 1.620 | 0 | 51 | 815 | -754 |
| | Malargüe | 68 | 150 | 9 | 159 | 0 | | 230 | 71 |
| | | | | | | | | | |
| | Mendoza | 1.102 | 2.507 | 444 | 2.950 | 173 | 316 | 1.230 | -1.232 |
| | Tunuyán Superior | 594 | 1.688 | 53 | 1.742 | | | | |
| 2040 | Tunuyán Inferior | 827 | 1.736 | 112 | 1.848 | | | | |
| 20.0 | Tunuyán | 1.422 | 3.425 | 165 | 3.590 | 1.095 | 138 | 1.550 | -807 |
| | Diamante | 668 | 2.116 | 52 | 2.168 | 369 | 15 | 810 | -974 |
| | Atuel | 673 | 1.626 | 28 | 1.653 | 0 | 49 | 705 | -899 |
| | Malargüe | 68 | 152 | 10 | 162 | 0 | | 190 | 28 |
| | | | | | | | | | |
| | Mendoza | 1.103 | 2.508 | 481 | 2.989 | 173 | 316 | 1.130 | -1.371 |
| | Tunuyán Superior | 606 | 1.723 | 59 | 1.782 | | | | |
| 2050 | Tunuyán Inferior | 844 | 1.772 | 122 | 1.893 | | | | |
| 2030 | Tunuyán | 1.451 | 3.495 | 180 | 3.675 | 1.118 | 142 | 1.510 | -906 |
| | Diamante | 677 | 2.143 | 56 | 2.198 | 374 | 14 | 690 | -1.121 |
| | Atuel | 687 | 1.658 | 29 | 1.687 | 0 | 49 | 675 | -961 |
| | Malargüe | 69 | 154 | 11 | 165 | 0 | | 150 | -15 |

8.3. ESCENARIO NÚMERO 3

Este escenario presenta la incorporación del 50% de las hectáreas incultas con derecho de riego.

Tabla 8-13: Escenario 3 – Ha. Cultivadas.

| Escenario | Escena | rio 1 | Escenario 2 | Escenario 3 |
|---------------------|----------------------|-------------------|-------------------|-------------------|
| Cuenca | Ha. No Cultivadas | HA. Cultivadas | HA. Cultivadas | HA. Cultivadas |
| Mendoza | 30.448 | 91.824 | 122.272 | 107.048 |
| Tunuyán Superior | 21.492 | 64.507 | 85.999 | 75.253 |
| Tunuyán Inferior | 34.974 | 77.135 | 112.110 | 94.622 |
| Tunuyán | 56.466 | 141.643 | 198.109 | 169.876 |
| Diamante | 28.313 | 45.280 | 73.593 | 59.436 |
| Atuel | 32.042 | 53.620 | 85.662 | 67.608 |
| Malargüe | 0 | 7.839 | 7.839 | 7.839 |

Tabla 8-14: Escenario 3 – Balance Hídrico.

| | Cuenca | Agrícola Neta (Hm³) | Agrícola Bruta (Hm³) | Poblacional + Industrial Bruta (Hm³) | Demanda Bruta Total (Hm³) | Oferta recirculada (Hm³) | Oferta de aguas subterráneas (Hm³) | Oferta Sostenible (Hm³) | Déficit (Hm³) |
|------|---------------------|---------------------------|----------------------------|--|------------------------------------|--------------------------------|---|-------------------------------|------------------|
| | Mendoza | 908 | 2.071 | 378 | 2.449 | 159 | 317 | 1.370 | -602 |
| | Tunuyán Superior | 495 | 1.425 | 44 | 1.469 | | | | |
| 2020 | Tunuyán Inferior | 668 | 1.401 | 94 | 1.496 | | | | |
| | Tunuyán | 1.162 | 2.826 | 138,45 | 2.964 | 931 | 128 | 1.590 | -316 |
| | Diamante | 497 | 1.587 | 46 | 1.633 | 303 | 19 | 940 | -371 |
| | Atuel | 517 | 1.243 | 25 | 1.268 | 0 | 51 | 820 | -397 |
| | Malargüe | 65 | 144 | 9 | 153 | 0 | | 240 | 87 |
| | 3.7 | 0.0 | 2.107 | 440 | 2 (0.7 | 1.0 | 215 | 1.250 | 0.7.6 |
| | Mendoza | 962 | 2.196 | 410 | 2.605 | 162 | 317 | 1.270 | -856 |
| | Tunuyán Superior | 509 | 1.467 | 49 | 1.515 | | | | |
| 2030 | Tunuyán Inferior | 684 | 1.436 | 103 | 1.539 | | | | |
| | Tunuyán | 1.193 | 2.902 | 151,38 | 3.054 | 959 | 128 | 1.550 | -417 |
| | Diamante | 534 | 1.705 | 49 | 1.754 | 326 | 19 | 890 | -520 |
| | Atuel | 535 | 1.286 | 26 | 1.312 | 0 | 51 | 815 | -446 |
| | Malargüe | 68 | 150 | 9 | 159 | 0 | | 230 | 71 |
| | 24 1 | 0.62 | 2.105 | 444 | 2 (41 | 1(2 | 216 | 1.220 | 022 |
| | Mendoza | 963 | 2.197 | 444 | 2.641 | 162 | 316 | 1.230 | -932 |
| | Tunuyán Superior | 520 | 1.497 | 53 | 1.551 | | | | |
| 2040 | Tunuyán Inferior | 698 | 1.466 | 112 | 1.578 | | | | |
| | Tunuyán | 1.218 | 2.963 | 165,33 | 3.128 | 979 | 138 | 1.550 | -462 |
| | Diamante | 541 | 1.727 | 52 | 1.779 | 330 | 15 | 810 | -624 |
| | Atuel | 546 | 1.312 | 28 | 1.340 | 0 | 49 | 705 | -586 |
| | Malargüe | 68 | 152 | 10 | 162 | 0 | | 190 | 28 |
| | M | 064 | 2 100 | 401 | 2 (50 | 1(2 | 216 | 1 120 | 1.051 |
| | Mendoza | 964 | 2.198 | 481 | 2.679 | 162 | 316 | 1.130 | -1.071 |
| | Tunuyán Superior | 531 | 1.528 | 59 | 1.587 | | | | |
| 2050 | Tunuyán Inferior | 712 | 1.496 | 122 | 1.617 | | | | |
| | Tunuyán | 1.243 | 3.024 | 180,26 | 3.204 | 999 | 142 | 1.510 | -554 |
| | Diamante | 547 | 1.749 | 56 | 1.805 | 334 | 14 | 690 | -767 |
| | Atuel | 557 | 1.338 | 29 | 1.367 | 0 | 49 | 675 | -643 |
| | Malargüe | 69 | 154 | 11 | 165 | 0 | | 150 | -15 |

8.4. RESUMEN DE BALANCES HÍDRICOS PROSPECTIVOS

Se evaluaron 3 escenarios, la siguiente tabla presenta las cifras principales de esos escenarios.

Tabla 8-15: Resumen

| | | Escenario 1 | | Escena | rio 2 | Escena | Escenario 3 | | |
|------|--------------|-------------------|------------------|-------------------|------------------|-------------------|------------------|--|--|
| | Cuenca | HA. Cultivadas | Déficit (Hm³) | HA. Cultivadas | Déficit (Hm³) | HA. Cultivadas | Déficit (Hm³) | | |
| | Mendoza | 91.824 | -320 | 122.272 | -885 | 107.048 | -602 | | |
| | Tunuyán | 141.643 | 14 | 198.109 | -645 | 169.876 | -316 | | |
| 2020 | Diamant e | 45.280 | -50 | 73.593 | -692 | 59.436 | -371 | | |
| | Atuel | 53.620 | -126 | 85.662 | -694 | 67.608 | -397 | | |
| | Malargü e | 7.839 | 87 | 7.839 | 87 | 7.839 | 87 | | |
| | Mendoza | 91.824 | -557 | 122.272 | -1.155 | 107.048 | -856 | | |
| | Tunuyán | 141.643 | -80 | 198.109 | -755 | 169.876 | -417 | | |
| 2030 | Diamant e | 45.280 | -175 | 73.593 | -865 | 59.436 | -520 | | |
| | Atuel | 53.620 | -166 | 85.662 | -754 | 67.608 | -446 | | |
| | Malargü e | 7.839 | 71 | 7.839 | 71 | 7.839 | 71 | | |
| | | | | I | | | | | |
| | Mendoza | 91.824 | -633 | 122.272 | -1.232 | 107.048 | -932 | | |
| | Tunuyán | 141.643 | -117 | 198.109 | -807 | 169.876 | -462 | | |
| 2040 | Diamant e | 45.280 | -275 | 73.593 | -974 | 59.436 | -624 | | |
| | Atuel | 53.620 | -300 | 85.662 | -899 | 67.608 | -586 | | |
| | Malargü e | 7.839 | 28 | 7.839 | 28 | 7.839 | 28 | | |
| | | | | | | | | | |
| | Mendoza | 91.824 | -772 | 122.272 | -1.371 | 107.048 | -1.071 | | |
| | Tunuyán | 141.643 | -202 | 198.109 | -906 | 169.876 | -554 | | |
| 2050 | Diamant e | 45.280 | -413 | 73.593 | -1.121 | 59.436 | -767 | | |
| | Atuel | 53.620 | -352 | 85.662 | -961 | 67.608 | -643 | | |
| | Malargü e | 7.839 | -15 | 7.839 | -15 | 7.839 | -15 | | |

9. ASPECTOS METODOLÓGICOS DE LA ESTIMACIÓN DE COSTOS DE MEJORAS

9.1. ASPECTOS GENERALES

En el siguiente apartado se plantea la definición de los componentes del plan de inversiones para la posterior estimación de costos asociados a cada componente. El objetivo es desarrollar un plan de inversiones de mejoras complementarias. Para ello es necesario realizar una evaluación de los sistemas de riego actuales. Luego, se prevé incluir un análisis de costos asociados con la actualización y mejoras previstas a realizar en la red de distribución.

9.2. DEFINICIÓN DEL PLAN DE INVERSIONES

A continuación, se presentan los diferentes componentes del plan de inversión. Se presentan en función de la clasificación administrativa y operativa que componen las redes de distribución de agua de la provincia de Mendoza: red primaria, secundaria y terciaria. También se presentan los componentes de gestión transversales a las distintas redes de distribución, la infraestructura que permite la interacción entre la oferta superficial y subterránea; y se menciona la infraestructura, de índole privada, dentro de las parcelas para la aplicación directa del agua de riego a los cultivos.

9.2.1. RED PRIMARIA

Se define red primaria a la infraestructura que permite la captación del agua de los ríos, conducción, distribución, regulación y control administrados por el Departamento General de Irrigación, a través de sus Subdelegaciones y Jefatura de Zona.

Mejora red primaria

Se pretende el aumento en la eficiencia de conducción de agua, reduciendo pérdidas y optimizando los tiempos de respuesta en grandes canales.

- Impermeabilización de la red primaria: Reducción de pérdidas en canales de distribución. Comprende aquellos canales de distribución que transportan entre 5 m³/s a 15 m³/s y más.
- Unificación de obras de toma y conducción: Al combinar múltiples puntos de captación en uno y unificar diferentes tramos de conducción, se mejora la eficiencia hidráulica y se reduce la necesidad de mantenimiento.
- **Obras de distribución:** Fundamentales para llevar agua desde embalses y zonas de captación de agua hasta áreas de cultivo.

Flexibilización de red primaria

Implica adaptarse a distintos escenarios de distribución y fluctuaciones en la demanda que puedan presentarse en las áreas de cultivo. Permite una distribución dinámica del agua, facilitando la respuesta a cambios en la demanda y asegurando un suministro eficiente.

- **Mejora de la infraestructura existente:** Actualización y optimización de elementos físicos de la red, esto incluye canales, tuberías y secciones de control para optimizar su eficiencia y capacidad de respuesta.
- Construcción de reservorios en red primaria: Depósitos de agua para garantizar suministro continúo del recurso hídrico.
- Sistemas de gestión de red primaria: Herramientas para monitorear y controlar el flujo de agua. Cuenta de agua por inspección.
- Estructuras de medición y control en red primaria: instalación de dispositivos para garantizar la distribución del agua de la forma prevista.
- Medidas contra el vandalismo: Implementación de seguridad para prevenir robos y
 destrucción de la infraestructura y así garantizar la correcta distribución del recurso
 hídrico.

9.2.2. RED SECUNDARIA

Se define red secundaria a la infraestructura que permite la conducción, distribución, regulación y control del agua desde la toma sobre la red primaria hasta los cauces menores o directamente los usuarios. Es administrada directamente por las inspecciones de cauce, a través de sus estructuras administrativas.

Mejora red secundaria

Busca mejorar la eficiencia en la conducción del agua desde canales primarios hasta la entrega en inspecciones de cauce.

- Impermeabilización de red secundaria comprende la reducción de pérdidas en canales que transportan menos de 1,5 m³/s, canales de 1,5 m³/s a 3 m³/s y de 3 m³/s a 5 m³/s.
- **Obras de distribución:** obras que permiten llevar agua desde canales principales hasta inspecciones de cauce. Incluyen la construcción de canales secundarios y tuberías.

Flexibilización de la red secundaria

Permite una distribución más dinámica del agua hacia las inspecciones, asegurando un suministro adecuado en diversos contextos operativos.

- **Mejora de la infraestructura existente:** Actualización y optimización de elementos físicos para mejorar eficiencia y capacidad de respuesta.
- Reservorios en red secundaria: Depósitos intermedios para garantizar suministro continuo de agua.
- Refuerzo de dotación superficial mediante el uso de agua subterránea: Integración de aguas subterráneas para complementar el suministro superficial en momentos de baja oferta, alta demanda o de corta.
- **Sistemas de gestión en inspecciones:** sistemas de control y gestión para monitorear el consumo de agua. Cuenta de agua por usuario.
- Estructuras de medición y control en red secundaria: Dispositivos para medir y controlar el uso del agua.
- Medidas contra vandalismo en red secundaria: implementar medidas de seguridad para asegurar operación continua y confiable.

9.2.3. RED TERCIARIA

Se define red terciaria a la infraestructura que permite la conducción y distribución de agua desde los canales secundarios hasta la toma de las propiedades. Son administrados por las inspecciones de cauce y los usuarios del sistema.

Mejora red terciaria:

Busca eficiencia en la conducción del agua desde la toma en canales secundarios hasta los usuarios. Componentes:

- Impermeabilización red terciaria: canales de menos de 0,050 m³/s, de 0,050 m³/s a 0,150 m³/s, de 0,15 m³/s a 0,50 m³/s.
- Obras de toma de usuarios: Mejorar instalaciones de captación de agua de los regantes, incluyendo compuertas y dispositivos de control.

Integración de los sistemas de gestión

Entendiendo que en la provincia existen múltiples sistemas de gestión diferentes para la distribución del agua, es necesario un proceso de integración y unificación de criterios con el

objetivo de mejorar los procesos de asignación del recurso como la comunicación entre los diferentes actores y la toma de decisiones.

- Extensión y capacitación a usuarios y operadores: Involucrar y capacitar a usuarios y operadores en el proceso de gestión del agua mediante la capacitación y la educación. Esto incluye información instruir sobre prácticas de uso eficiente del agua, normativas y regulaciones, así como entrenamiento en el manejo de sistemas de riego.
- Infraestructura tecnológica: Implementación de sistemas de comunicación eficientes que permitan la interacción fluida entre los diferentes actores involucrados. Requiere la adquisición de servidores y sistemas de almacenamiento de datos. El mantenimiento regular, la actualización y la seguridad de esta infraestructura son aspectos necesarios para asegurar su funcionamiento a largo plazo.
- Personal capacitado en todas las instancias: Formación continua para personal en todos los niveles. Garantizando así las mejores prácticas y tecnologías disponibles para mejorar la calidad de gestión del agua.

Uso del agua subterránea

La integración de agua subterránea con agua superficial permite dotar de una flexibilidad adicional a los sistemas de distribución de agua logrando una gestión integrada del recurso.

Mejoras intra parcelarias

Aumento de la eficiencia de aplicación en el regante.

- Riego por goteo: Tecnología para una aplicación más eficiente del agua.
- Reservorios intra parcelarios: Depósitos para almacenamiento dentro de las fincas de los usuarios. Permite disponer el recurso según el usuario disponga en los tiempos que desee.
- **Presurización de la red:** Asegura un flujo constante y controlado del agua. Facilita la implementación de riego por goteo y le da libertad al usuario de disponer del recurso cuando sea requerido.

9.3. OBJETIVO

La capacidad de definir costos específicos para cada componente de manera independiente permite una mayor precisión en la evaluación de los costos asociados al aumento de la eficiencia de uso del agua.

Al establecer costos por cada unidad de medida, como ser: \$/m para la construcción y operación de tuberías, \$/m³ para construcción de reservorios o \$/ha para el sistema en su conjunto, podremos presentar de manera clara y transparente el costo asociado a la disminución de cada metro cúbico de agua en el informe número 5.

Este enfoque no solo mejorará la precisión del análisis, sino que también facilitará la comunicación de nuestros resultados a todas las partes interesadas involucradas en el plan hídrico.

10. CONCLUSIONES

En este informe analizamos la gestión de los recursos hídricos de la provincia de Mendoza. Se compara la demanda real con la oferta sustentable calculada, por ejemplo, en la cuenca del río Mendoza el déficit en la situación actual alcanza unos 320 hm³ (asumiendo un nivel de confiabilidad del 80%). Un déficit que sin tomar medidas para mejorar la situación crecerá hasta casi los 800 hm³ en 2050.

En las demás cuencas también hay déficits, pero más moderados en comparación con la cuenca del río Mendoza.

En este informe también se estima el agua recirculada, refiriéndose al agua que se utiliza más de una vez, por ejemplo, el agua superficial que se utiliza para riego y parte de ella drena y se vuelve a utilizar para regar otras zonas.

Se calcula el volumen de agua recirculada utilizando el modelo WEAP, este fenómeno está afectando fuertemente a las Cuencas de Tunuyán (Superior e Inferior) donde el volumen de agua recirculada alcanza los 820 Hm³, equivalente a la mitad de la oferta sustentable del río Tunuyán.

La conclusión general de este informe es que la única manera de alcanzar una gestión hídrica sostenible es estimando los déficits hídricos y emprendiendo medidas que busquen reducir la demanda hídrica para alcanzar una gestión hídrica sostenible de los recursos hídricos es reduciendo la demanda de agua.

El Reporte N°5 ofrecerá alternativas para la reducción de la demanda de agua mediante mejoras en la eficiencia de uso y el Reporte N°6 analizará económicamente la alternativa elegida de las propuestas en el Reporte N°5.